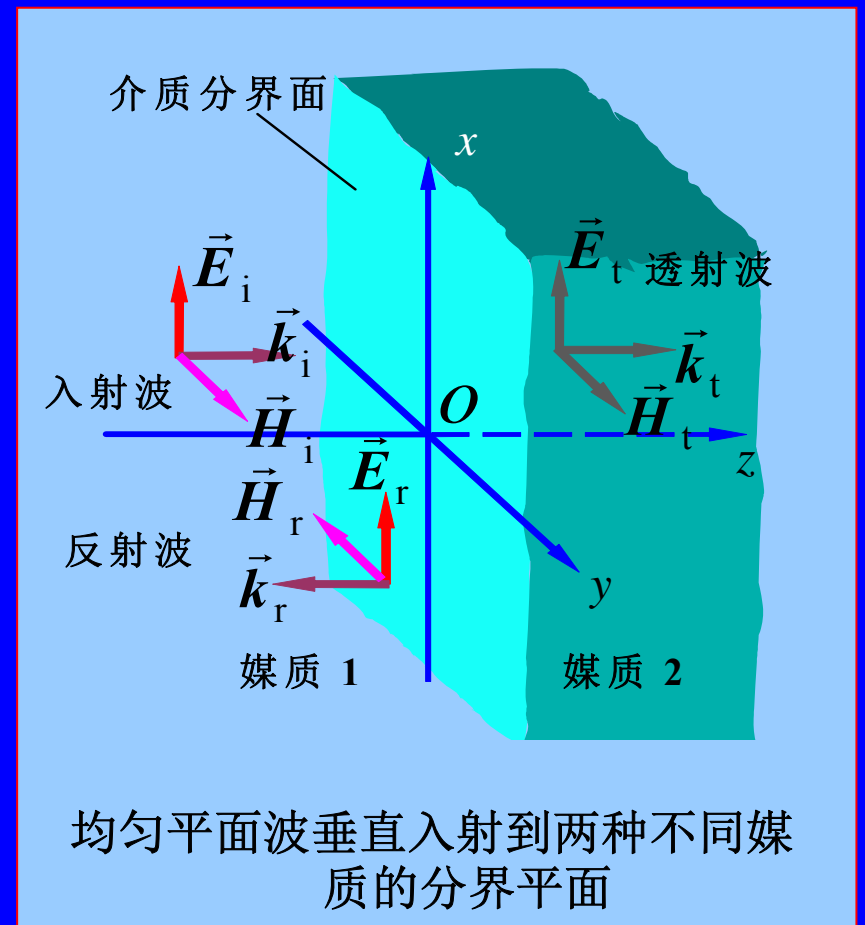


# 第6章 均匀平面波的反射与透射

## 讨论内容

- 6.1 均匀平面波对分界面的垂直入射
- 6.2 均匀平面波对多层介质分界平面的垂直入射
- 6.3 均匀平面波对理想介质分界平面的斜入射
- 6.4 均匀平面波对理想导体表面的斜入射

- 现象：电磁波入射到不同媒质分界面上时，一部分波被分界面反射，一部分波透过分界面。
- 入射方式：垂直入射、斜入射；
- 媒质类型：  
理想导体、理想介质、导电媒质
- 分析方法：



均匀平面波垂直入射到两种不同媒质的分界平面

入射波（已知） + 反射波（未知）  $\xrightarrow{\text{边界条件}}$  透射波（未知）

## 6.1 均匀平面波对分界平面的垂直入射

### 6.1.1 对导电媒质分界面的垂直入射

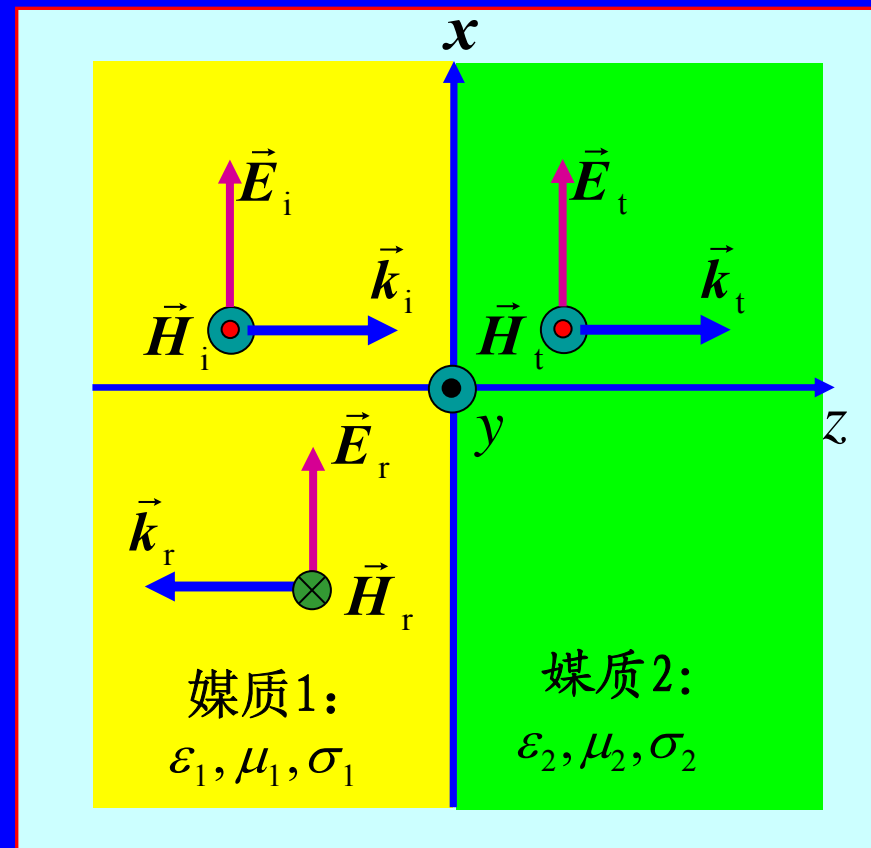
- $z < 0$  中，导电媒质 1 的参数为

$$\mu_1, \epsilon_1, \sigma_1$$

- $z > 0$  中，导电媒质 2 的参数为

$$\mu_2, \epsilon_2, \sigma_2$$

- 沿  $x$  方向极化的均匀平面波从媒质 1 垂直入射到与导电媒质 2 的分界平面上。



媒质1中的入射波:

$$\vec{E}_i(z) = \vec{e}_x E_{im} e^{-\gamma_1 z}$$

$$\vec{H}_i(z) = \vec{e}_y \frac{E_{im}}{\eta_{1c}} e^{-\gamma_1 z}$$

媒质1中的反射波:

$$\vec{E}_r(z) = \vec{e}_x E_{rm} e^{\gamma_1 z}$$

$$\vec{H}_r(z) = -\vec{e}_y \frac{E_{rm}}{\eta_{1c}} e^{\gamma_1 z}$$

媒质1中的合成波:

$$\vec{E}_1(z) = \vec{E}_i(z) + \vec{E}_r(z) = \vec{e}_x E_{im} e^{-\gamma_1 z} + \vec{e}_x E_{rm} e^{\gamma_1 z}$$

$$\vec{H}_1(z) = \vec{H}_i(z) + \vec{H}_r(z) = \vec{e}_y \frac{E_{im}}{\eta_{1c}} e^{-\gamma_1 z} - \vec{e}_y \frac{E_{rm}}{\eta_{1c}} e^{\gamma_1 z}$$

$$\gamma_1 = jk_{1c} = j\omega\sqrt{\mu_1\epsilon_{1c}}$$

$$= j\omega\sqrt{\mu_1\epsilon_1} \left(1 - j\frac{\sigma_1}{\omega\epsilon_1}\right)^{1/2}$$

$$\eta_{1c} = \sqrt{\frac{\mu_1}{\epsilon_{1c}}} = \sqrt{\frac{\mu_1}{\epsilon_1}} \left(1 - j\frac{\sigma_1}{\omega\epsilon_1}\right)^{-1/2}$$

$$= \eta_1 \left(1 - j\frac{\sigma_1}{\omega\epsilon_1}\right)^{-1/2}$$

媒质2中的透射波：

$$\vec{E}_t(z) = \vec{e}_x E_{tm} e^{-\gamma_2 z}, \quad \vec{H}_t(z) = \vec{e}_y \frac{E_{tm}}{\eta_{2c}} e^{-\gamma_2 z}$$

$$\gamma_2 = jk_{2c} = j\omega\sqrt{\mu_2\epsilon_{2c}} = j\omega\sqrt{\mu_2\epsilon_2}(1 - j\frac{\sigma_2}{\omega\epsilon_2})^{1/2}$$

$$\eta_{2c} = \sqrt{\frac{\mu_2}{\epsilon_{2c}}} = \sqrt{\frac{\mu_2}{\epsilon_2}(1 - j\frac{\sigma_2}{\omega\epsilon_2})^{-1/2}} = \eta_2(1 - j\frac{\sigma_2}{\omega\epsilon_2})^{-1/2}$$

在分界面 $z=0$ 上，电场强度和磁场强度切向分量连续，即

$$\begin{cases} E_1(0) = E_2(0) \\ H_1(0) = H_2(0) \end{cases} \quad \rightarrow \quad \begin{cases} E_{im} + E_{rm} = E_{tm} \\ \frac{1}{\eta_{1c}}(E_{im} - E_{rm}) = \frac{1}{\eta_{2c}} E_{tm} \end{cases}$$

定义分界面上的反射系数  $\Gamma$  为反射波电场的振幅与入射波电场振幅之比、透射系数  $\tau$  为透射波电场的振幅与入射波电场振幅之比，则

$$\begin{aligned} \text{讨论: } & \left\{ \begin{array}{l} E_{im} + E_{rm} = E_{tm} \\ \frac{1}{\eta_{1c}}(E_{im} - E_{rm}) = \frac{1}{\eta_{2c}} E_{tm} \end{array} \right. \xrightarrow{\text{ }} \left\{ \begin{array}{l} \Gamma = \frac{E_{rm}}{E_{im}} = \frac{\eta_{2c} - \eta_{1c}}{\eta_{2c} + \eta_{1c}} \\ \tau = \frac{E_{tm}}{E_{im}} = \frac{2\eta_{2c}}{\eta_{2c} + \eta_{1c}} \end{array} \right. \end{aligned}$$

- $1 + \Gamma = \tau$

- $\Gamma$  和  $\tau$  是复数，表明反射波和透射波的振幅和相位与入射波都不同。

- 若媒质2为理想导体，即  $\sigma_2 = \infty$ ，则  $\eta_{2c} = 0$ ，故有

$$\Gamma = -1, \quad \tau = 0$$

- 若两种媒质均为理想介质，即  $\sigma_1 = \sigma_2 = 0$ ，则得到

$$\Gamma = \frac{\eta_2 - \eta_1}{\eta_2 + \eta_1}, \quad \tau = \frac{2\eta_2}{\eta_2 + \eta_1}$$

### 6.1.2 对理想导体表面的垂直入射

媒质1为理想介质， $\sigma_1 = 0$

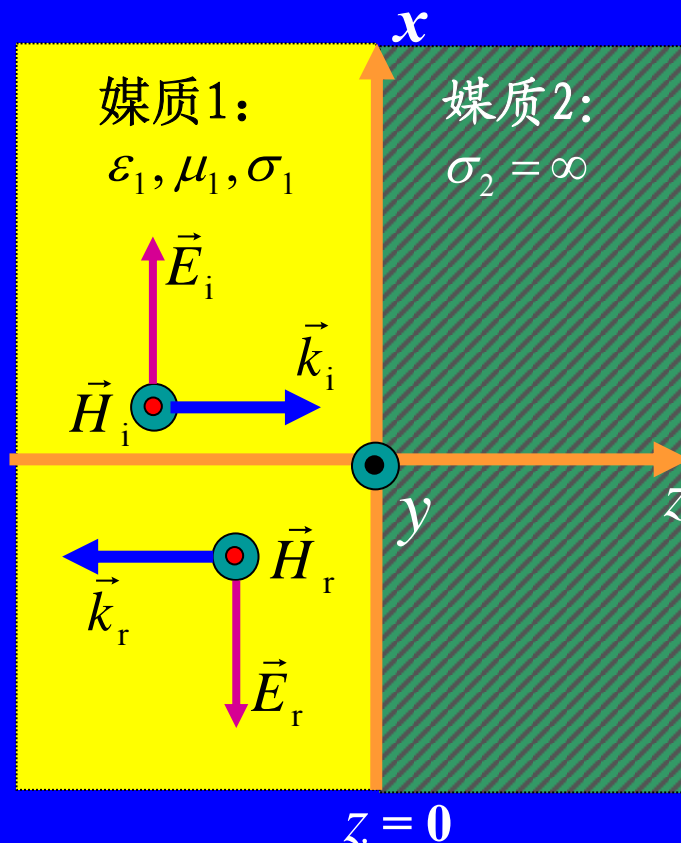
媒质2为理想导体， $\sigma_2 = \infty$

则  $\beta_1 = \omega\sqrt{\mu_1\varepsilon_1}$ ,  $\eta_1 = \sqrt{\frac{\mu_1}{\varepsilon_1}}$ ,  $\eta_2 = 0$

故  $\Gamma = -1$ 、 $\tau = 0$

$\rightarrow E_{rm} = -E_{im}$

在分界面上，反射波电场与入射波电场的相位差为 $\pi$



媒质1中的入射波:  $\vec{E}_i(z) = \vec{e}_x E_{im} e^{-j\beta_1 z}$ ,  $\vec{H}_i(z) = \vec{e}_y \frac{E_{im}}{\eta_1} e^{-j\beta_1 z}$

媒质1中的反射波:  $\vec{E}_r(z) = -\vec{e}_x E_{im} e^{j\beta_1 z}$ ,  $\vec{H}_r(z) = \vec{e}_y \frac{E_{im}}{\eta_1} e^{j\beta_1 z}$

媒质1中合成波的电磁场为

$$\vec{E}_1(z) = \vec{e}_x E_{\text{im}} (e^{-j\beta_1 z} - e^{j\beta_1 z}) = -\vec{e}_x j 2 E_{\text{im}} \sin(\beta_1 z)$$

$$\vec{H}_1(z) = \vec{e}_y \frac{E_{\text{im}}}{\eta_1} (e^{-j\beta_1 z} + e^{j\beta_1 z}) = \vec{e}_y \frac{2 E_{\text{im}} \cos(\beta_1 z)}{\eta_1}$$

瞬时值形式  $\vec{E}_1(z, t) = \text{Re}[\vec{E}_1(z)e^{j\omega t}] = \vec{e}_x 2 E_{\text{im}} \sin(\beta_1 z) \sin(\omega t)$

$$\vec{H}_1(z, t) = \text{Re}[\vec{H}_1(z)e^{j\omega t}] = \vec{e}_y \frac{2 E_{\text{im}} \cos(\beta_1 z) \cos(\omega t)}{\eta_1}$$

合成波的平均能流密度矢量

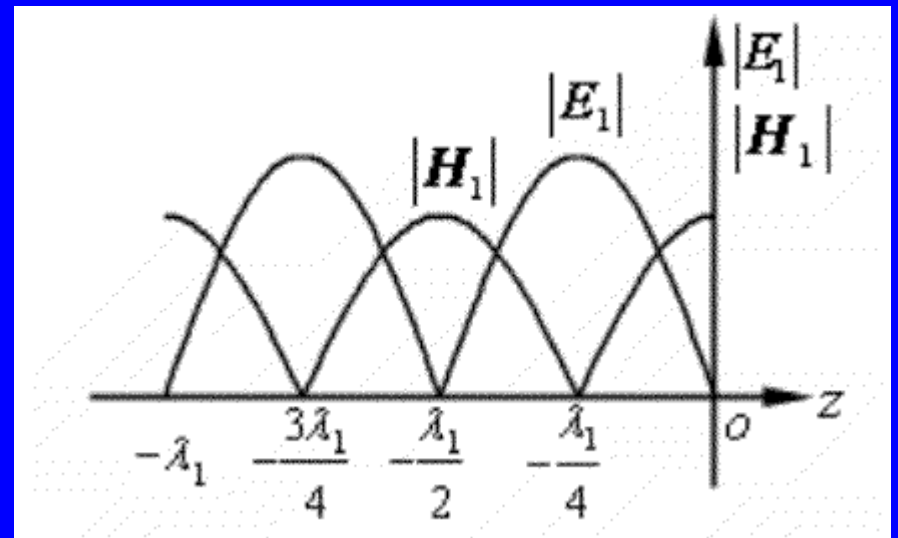
$$\vec{S}_{\text{av}} = \frac{1}{2} \text{Re}[\vec{E}_1 \times \vec{H}_1^*] = \frac{1}{2} \text{Re} \left[ -\vec{e}_x j 2 E_{\text{im}} \sin(\beta_1 z) \times \vec{e}_y \left( \frac{2 E_{\text{im}} \cos(\beta_1 z)}{\eta_1} \right)^* \right] = 0$$

理想导体表面上的感应电流

$$\vec{J}_S = \vec{e}_n \times \vec{H}_1(z) \Big|_{z=0} = -\vec{e}_z \times \vec{e}_y \frac{2 E_{\text{im}} \cos(\beta_1 z)}{\eta_1} \Big|_{z=0} = \vec{e}_x \frac{2 E_{\text{im}}}{\eta_1}$$

## 合成波的特点 P268

- 媒质1中的合成波是驻波。电场振幅的最大值为 $2E_{\text{im}}$ , 最小值为0; 磁场振幅的最大值为 $2E_{\text{im}}/\eta_1$ , 最小值也为0。



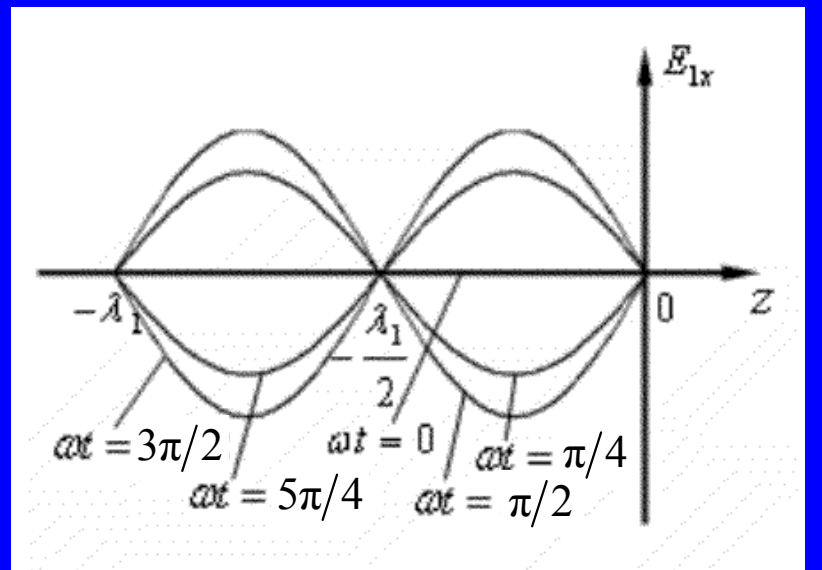
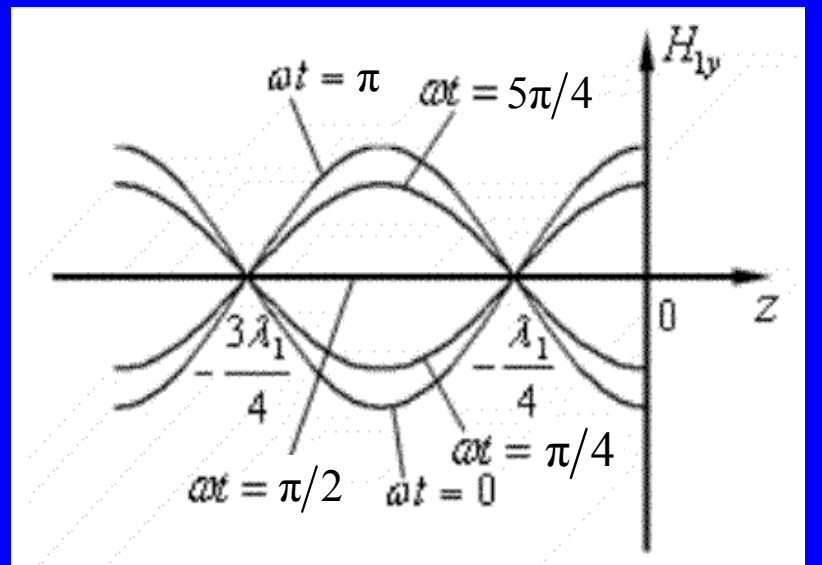
- 电场波节点 ( $|E_1(z)|$  的最小值的位置)

$$\beta_1 z_{\min} = -n\pi \rightarrow z_{\min} = -\frac{n\lambda_1}{2} \quad (n = 0, 1, 2, 3, \dots)$$

- 电场波腹点 ( $|\vec{E}_1(z)|$  的最大值的位置)

$$\beta_1 z_{\min} = -(2n+1)\pi/2 \rightarrow z_{\max} = -\frac{(2n+1)\lambda_1}{4} \quad (n = 0, 1, 2, 3, \dots)$$

- 两相邻波节点之间任意两点的电场同相。同一波节点两侧的电场反相。
- $\vec{E}_1$ 、 $\vec{H}_1$ 在时间上有 $\pi/2$ 的相移。
- $\vec{E}_1$ 、 $\vec{H}_1$ 在空间上错开 $\lambda/4$ ，电场的波腹（节）点正好是磁场的波节（腹）点。
- 坡印廷矢量的平均值为零，不发生能量传输过程，仅在两个波节间进行电场能量和磁场能的交换。



例6.1.1 一均匀平面波沿 $+z$ 方向传播，其电场强度矢量为

$$\vec{E}_i = \vec{e}_x 100 \sin(\omega t - \beta z) + \vec{e}_y 200 \cos(\omega t - \beta z) \text{ V/m}$$

- (1) 求相伴的磁场强度；
- (2) 若在传播方向上  $z=0$  处，放置一无限大的理想导体平板，求区域  $z < 0$  中的电场强度和磁场强度；
- (3) 求理想导体板表面的电流密度。

解：(1) 电场强度的复数表示

$$\vec{E}_i = \vec{e}_x 100 e^{-j\beta z} e^{-j\pi/2} + \vec{e}_y 200 e^{-j\beta z}$$

则  $\vec{H}_i(z) = \frac{1}{\eta_0} \vec{e}_z \times \vec{E}_i = \frac{1}{\eta_0} (-\vec{e}_x 200 e^{-j\beta z} + \vec{e}_y 100 e^{-j\beta z} e^{-j\pi/2})$

写成瞬时表达式

$$\begin{aligned}\vec{H}_i(z, t) &= \operatorname{Re}[\vec{H}_i(z)e^{j\omega t}] \\ &= \frac{1}{\eta_0} [-\vec{e}_x 200 \cos(\omega t - \beta z) + \vec{e}_y 100 \cos(\omega t - \beta z - \frac{1}{2}\pi)]\end{aligned}$$

(2) 反射波的电场为

$$\vec{E}_r(z) = -\vec{e}_x 100 e^{j\beta z} e^{-j\pi/2} - \vec{e}_y 200 e^{j\beta z}$$

反射波的磁场为

$$\vec{H}_r(z) = \frac{1}{\eta_0} (-\vec{e}_z \times \vec{E}_r) = \frac{1}{\eta_0} (-\vec{e}_x 200 e^{j\beta z} + \vec{e}_y 100 e^{j\beta z} e^{-j\pi/2})$$

在区域  $z < 0$  的合成波电场和磁场分别为

$$\vec{E}_1 = \vec{E}_i + \vec{E}_r = -\vec{e}_x j 200 e^{-j\pi/2} \sin(\beta z) - \vec{e}_y j 400 \sin(\beta z)$$

$$\vec{H}_1 = \vec{H}_i + \vec{H}_r = \frac{1}{\eta_0} [-\vec{e}_x 400 \cos(\beta z) + \vec{e}_y 200 e^{-j\pi/2} \cos(\beta z)]$$

(3) 理想导体表面电流密度为

$$\vec{J}_s = -\vec{e}_z \times \vec{H}_1 \Big|_{z=0}$$

$$= \vec{e}_x \frac{200}{\eta_0} e^{-j\pi/2} + \vec{e}_y \frac{400}{\eta_0} = -\vec{e}_x j 0.53 + \vec{e}_y 1.06$$

### 6.1.3 对理想介质分界面的垂直入射

设两种媒质均为理想介质，即

$$\sigma_1 = \sigma_2 = 0$$

则  $\gamma_1 = j\beta_1 = j\omega\sqrt{\mu_1\varepsilon_1}$

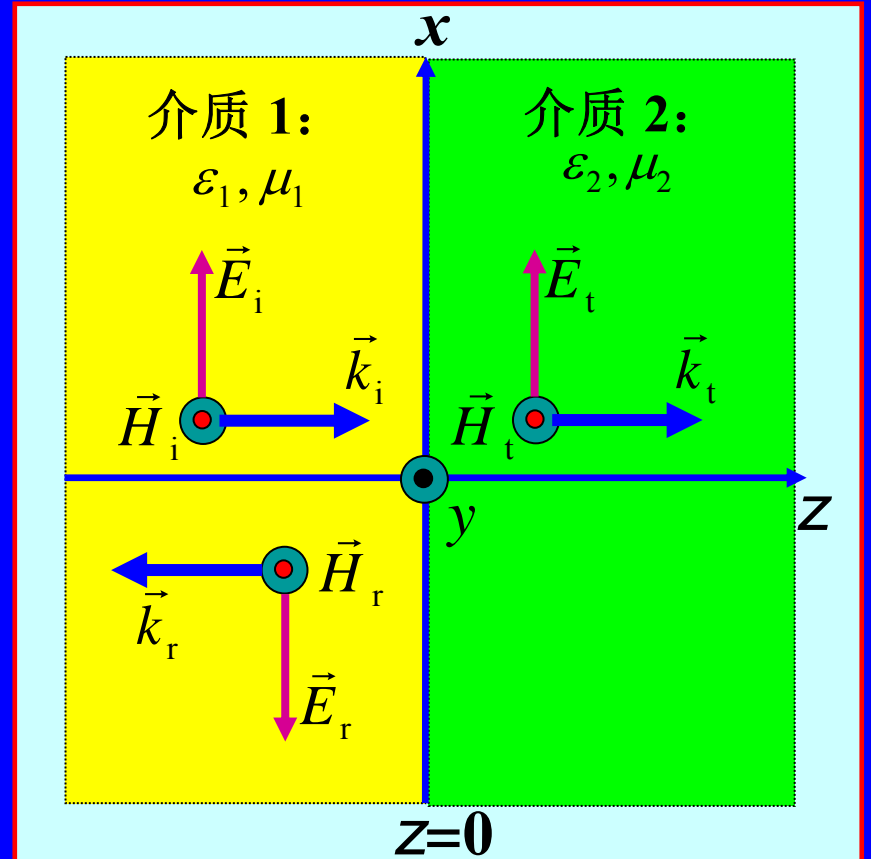
$$\gamma_2 = j\beta_2 = j\omega\sqrt{\mu_2\varepsilon_2}$$

$$\eta_{1c} = \eta_1 = \sqrt{\frac{\mu_1}{\varepsilon_1}}, \quad \eta_{2c} = \eta_2 = \sqrt{\frac{\mu_2}{\varepsilon_2}}$$

$$\Gamma = \frac{\eta_2 - \eta_1}{\eta_2 + \eta_1}, \quad \tau = \frac{2\eta_2}{\eta_2 + \eta_1}$$

#### 讨论

- 当  $\eta_2 > \eta_1$  时,  $\Gamma > 0$ , 反射波电场与入射波电场同相。
- 当  $\eta_2 < \eta_1$  时,  $\Gamma < 0$ , 反射波电场与入射波电场反相。



媒质1中的入射波:  $\vec{E}_i(z) = \vec{e}_x E_{im} e^{-j\beta_1 z}$

$$\vec{H}_i(z) = \vec{e}_y \frac{E_{im}}{\eta_1} e^{-j\beta_1 z}$$

媒质1中的反射波:  $\vec{E}_r(z) = \vec{e}_x \Gamma E_{im} e^{j\beta_1 z}$

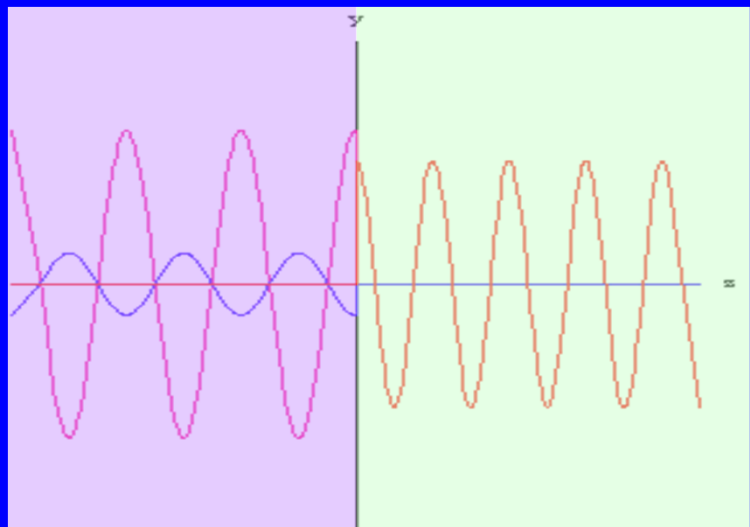
$$\vec{H}_r(z) = -\vec{e}_y \frac{\Gamma E_{im}}{\eta_1} e^{j\beta_1 z}$$

媒质1中的合成波:  $\vec{E}_1(z) = \vec{E}_i(z) + \vec{E}_r(z) = \vec{e}_x E_{im} (e^{-j\beta_1 z} + \Gamma e^{j\beta_1 z})$

$$\vec{H}_1(z) = \vec{H}_i(z) + \vec{H}_r(z) = \vec{e}_y \frac{E_{im}}{\eta_1} (e^{-j\beta_1 z} - \Gamma e^{j\beta_1 z})$$

媒质2中的透射波:  $\vec{E}_2(z) = \vec{E}_t(z) = \vec{e}_x \tau E_{im} e^{-j\beta_2 z}$

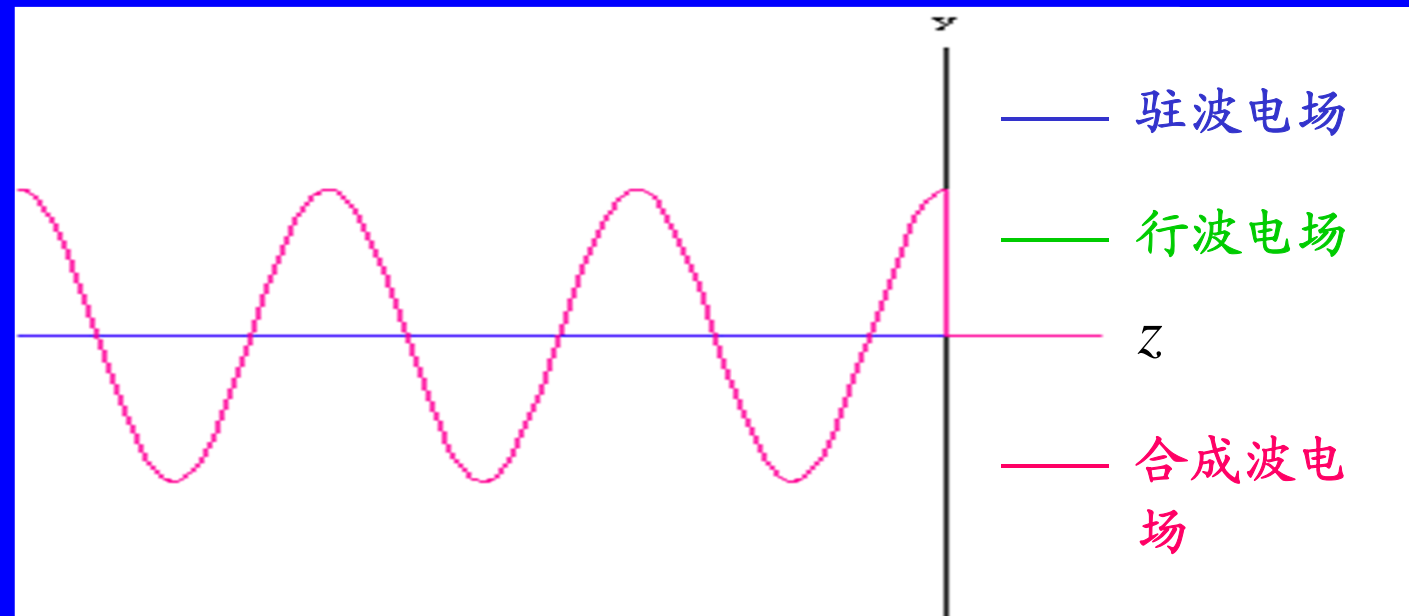
$$\vec{H}_2(z) = \vec{H}_t(z) = \vec{e}_y \frac{\tau E_{im}}{\eta_2} e^{-j\beta_2 z}$$



## ■ 合成波的特点

$$\begin{aligned}\vec{E}_l(z) &= \vec{e}_x E_{\text{im}} (e^{-j\beta_l z} + \Gamma e^{j\beta_l z}) \\ &= \vec{e}_x E_{\text{im}} \left[ (1 + \Gamma) e^{-j\beta_l z} + \Gamma (e^{j\beta_l z} - e^{-j\beta_l z}) \right] \\ &= \vec{e}_x E_{\text{im}} \left[ (1 + \Gamma) e^{-j\beta_l z} + j2\Gamma \sin(\beta_l z) \right]\end{aligned}$$

● 这种由行波和纯驻波合成的波称为混合波



## 合成波电场振幅 ( $\Gamma > 0$ )

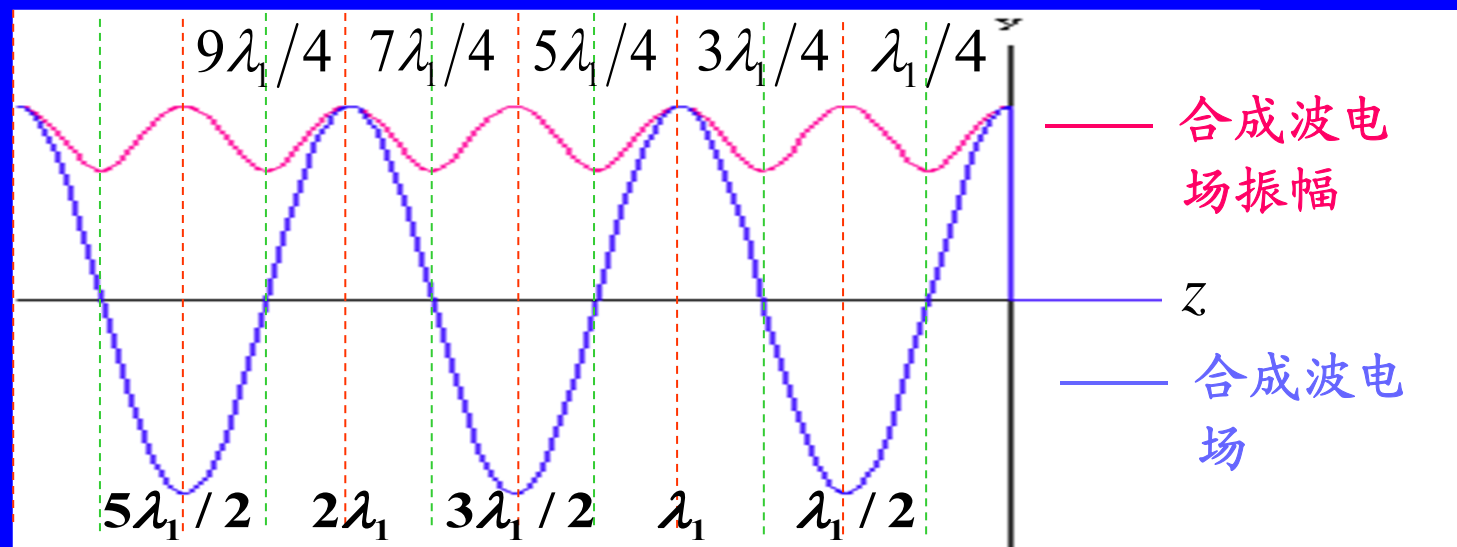
$$|\vec{E}_1(z)| = E_{\text{im}} |1 + \Gamma e^{j2\beta_1 z}| = E_{\text{im}} \sqrt{1 + \Gamma^2 + 2\Gamma \cos(2\beta_1 z)}$$

当  $\beta_1 z = -n\pi$ , 即  $z = -n\lambda_1/2$  ( $n = 0, 1, 2, \dots$  时), 有

$$|\vec{E}_1(z)|_{\max} = E_{\text{im}} |\Gamma|$$

当  $\beta_1 z = -(2n+1)\pi/2$ , 即  $z = -(n/2 + 1/4)\lambda_1$  ( $n = 0, 1, 2, \dots$  时), 有

$$|\vec{E}_1(z)|_{\min} = E_{\text{im}} |1 - \Gamma|$$



## 合成波电场振幅 ( $\Gamma < 0$ )

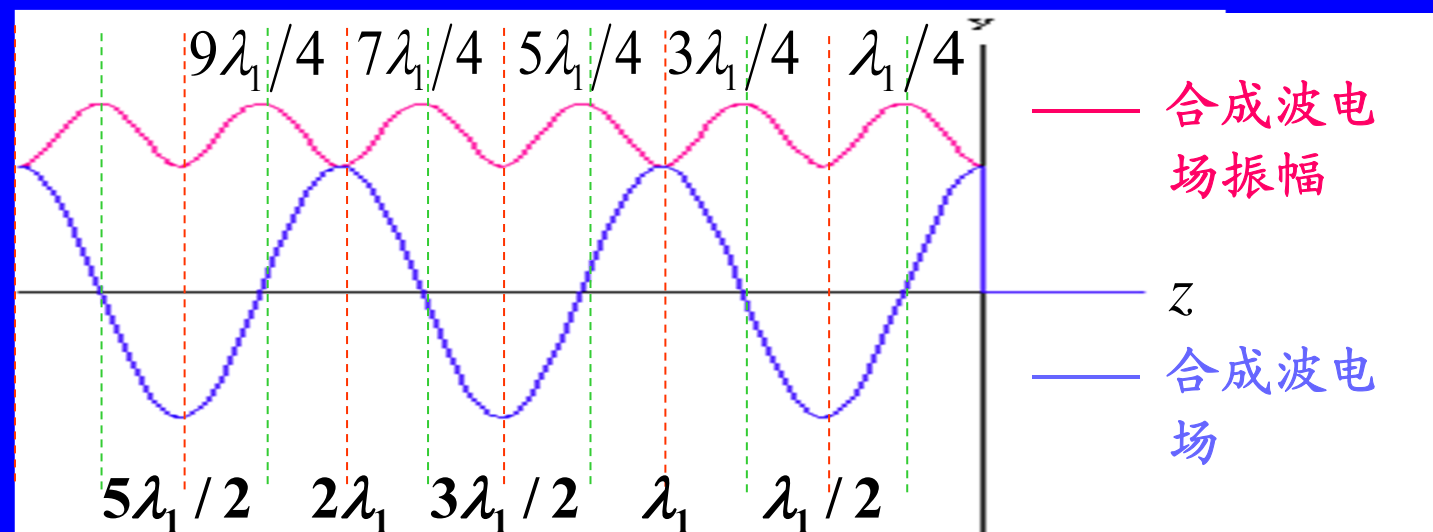
$$|\vec{E}_1(z)| = E_{\text{im}} \left| 1 + \Gamma e^{j2\beta_1 z} \right| = E_{\text{im}} \sqrt{1 + \Gamma^2 + 2\Gamma \cos(2\beta_1 z)}$$

当  $\beta_1 z = -n\pi$ , 即  $z = -n\lambda_1/2$  ( $n = 0, 1, 2, \dots$  时), 有

$$\left| \vec{E}_1(z) \right|_{\min} = E_{\text{im}} |1 + \Gamma|$$

当  $\beta_1 z = -(2n + 1)\pi/2$ , 即  $z = -(n/2 + 1/4)\lambda_1$  ( $n = 0, 1, 2, \dots$  时), 有

$$\left| \vec{E}_1(z) \right|_{\max} = E_{\text{im}} |1 - \Gamma|$$



## 驻波系数(驻波比) $S$

驻波系数  $S$  定义为驻波的电场强度振幅的最大值与最小值之比，即

$$S = \frac{|\vec{E}|_{\max}}{|\vec{E}|_{\min}} = \frac{1 + |\Gamma|}{1 - |\Gamma|} \quad \longleftrightarrow \quad |\Gamma| = \frac{S - 1}{S + 1}$$

### 讨论

- 当  $\Gamma = 0$  时， $S = 1$ ，为行波。
- 当  $\Gamma = \pm 1$  时， $S = \infty$ ，是纯驻波。
- 当  $0 < |\Gamma| < 1$  时， $1 < S < \infty$ ，为混合波。 $S$  越大，驻波分量越大，行波分量越小；

## ■ 电磁能流密度

媒质1中沿 $z$ 方向传播的平均功率密度

$$\vec{S}_{1av} = \frac{1}{2} \operatorname{Re} [\vec{E}_i \times \vec{H}_i^*] = \vec{e}_z \frac{1}{2\eta_1} E_{im}^2$$

$$\vec{S}_{rav} = \frac{1}{2} \operatorname{Re} [\vec{E}_r \times \vec{H}_r^*] = -\vec{e}_z \frac{1}{2\eta_1} \Gamma^2 E_{im}^2$$

$$\vec{S}_{1av} = \frac{1}{2} \operatorname{Re} [\vec{E}_1 \times \vec{H}_1^*] = \vec{e}_z \frac{E_{im}^2}{2\eta_1} (1 - \Gamma^2)$$

入射波平均功率  
密度减去反射波  
平均功率密度

媒质2中的平均功率密度

$$\vec{S}_{2av} = \frac{1}{2} \operatorname{Re} [\vec{E}_2 \times \vec{H}_2^*] = \vec{e}_z \frac{E_{im}^2}{2\eta_2} \tau^2$$

由  $1 - \Gamma^2 = (1 + \Gamma)(1 - \Gamma) = \frac{\eta_1}{\eta_2} \tau^2$



$$\vec{S}_{1av} = \vec{S}_{2av}$$

例 6.1.2 已知媒质1的 $\epsilon_{r1}=4$ 、 $\mu_{r1}=1$ 、 $\sigma_1=0$ ； 媒质2 的 $\epsilon_{r2}=10$ 、 $\mu_{r2}=4$ 、 $\sigma_2=0$ 。角频率 $\omega=5\times 10^8 \text{ rad/s}$  的均匀平面波从媒质1垂直入射到分界面上，设入射波是沿  $x$  轴方向的线极化波，在  $t=0$ 、 $z=0$  时，入射波电场的振幅为  $2.4 \text{ V/m}$ 。求：

- (1)  $\beta_1$  和  $\beta_2$ ；
- (2) 反射系数  $\Gamma_1$  和  $\Gamma_2$ ；
- (3) 1区的电场  $\vec{E}_1(z,t)$ ；
- (4) 2区的电场  $\vec{E}_2(z,t)$ 。

解：(1)  $\beta_1 = \omega \sqrt{\mu_1 \epsilon_1} = \omega \sqrt{\mu_0 \epsilon_0} \sqrt{\mu_{r1} \epsilon_{r1}} = \frac{5 \times 10^8}{3 \times 10^8} \times 2 = 3.33 \text{ rad/m}$

$$\beta_2 = \omega \sqrt{\mu_0 \epsilon_0} \sqrt{\mu_{r2} \epsilon_{r2}} = \frac{5 \times 10^8}{3 \times 10^8} \sqrt{10 \times 4} = 10.54 \text{ rad/m}$$

$$(2) \quad \eta_1 = \sqrt{\frac{\mu_1}{\epsilon_1}} = \eta_0 \sqrt{\frac{\mu_{r1}}{\epsilon_{r1}}} = \eta_0 \frac{1}{2} = 60\pi \Omega$$

$$\eta_2 = \sqrt{\frac{\mu_2}{\epsilon_2}} = \eta_0 \sqrt{\frac{\mu_{r2}}{\epsilon_{r2}}} = \eta_0 \sqrt{\frac{4}{10}} \approx 75.9\pi \Omega$$

$$\Gamma = \frac{\eta_2 - \eta_1}{\eta_2 + \eta_1} = \frac{75.9 - 60}{60 + 75.9} = 0.117$$

(3) 1区的电场

$$\begin{aligned}\vec{E}_1(z) &= \vec{E}_i(z) + \vec{E}_r(z) = \vec{e}_x E_{im} (e^{-j\beta_1 z} + \Gamma e^{j\beta_1 z}) \\ &= \vec{e}_x E_{im} [(1 + \Gamma) e^{-j\beta_1 z} + j2\Gamma \sin(\beta_1 z)] \\ &= \vec{e}_x 2.4 [1.117 e^{-j3.33z} + j0.234 \sin(3.33z)]\end{aligned}$$

$$\text{或 } \vec{E}_l(z) = \vec{E}_i(z) + \vec{E}_r(z) = \vec{e}_x 2.4 e^{-j3.33z} + \vec{e}_x 0.281 e^{j3.33z}$$

$$\begin{aligned}\vec{E}_l(z, t) &= \operatorname{Re} [\vec{E}_l(z) e^{j\omega t}] \\ &= \vec{e}_x 2.4 \cos(5 \times 10^8 t - 3.33z) + \vec{e}_x 0.281 \cos(5 \times 10^8 t + 3.33z)\end{aligned}$$

$$(4) \quad \tau = \frac{2\eta_2}{\eta_1 + \eta_2} \approx 1.12$$

$$\begin{aligned}\vec{E}_2(z) &= \vec{e}_x E_{\text{tm}} e^{-j\beta_2 z} = \vec{e}_x \tau E_{\text{im}} e^{-j\beta_2 z} \\ &= \vec{e}_x 1.12 \times 2.4 e^{-j10.54z} = \vec{e}_x 2.68 e^{-j10.54z}\end{aligned}$$

$$\vec{E}_2(z, t) = \vec{e}_x 2.68 \cos(5 \times 10^8 t - 10.54z)$$

## 6.2 均匀平面波对多层介质分界平面的垂直入射

### 本节内容

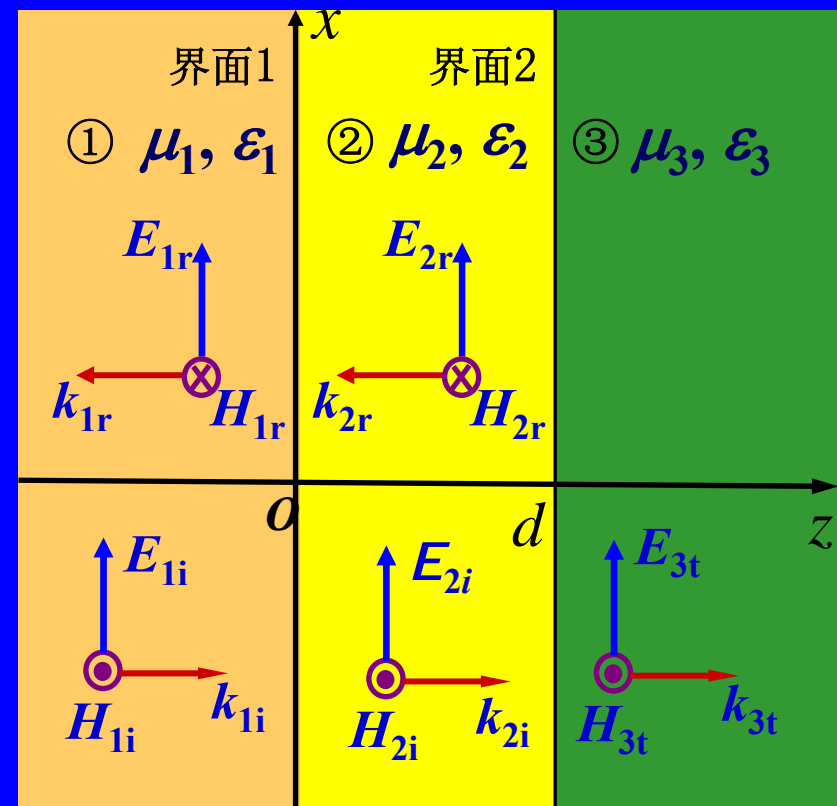
- 6.2.1 多层介质中的场量关系与等效波阻抗
- 6.2.2 四分之一波长匹配层
- 6.2.3 半波长介质窗

### 6.2.1 多层介质中的场量关系与等效波阻抗

电磁波在多层介质中的传播具有普遍的实际意义。

以三种介质形成的多层媒质为例，说明平面波在多层媒质中的传播过程及其求解方法。

如图所示，当平面波自媒质①向分界面垂直入射时，在媒质①和②之间的分界面上发生反射和透射。当透射波到达媒质②和③的分界面时，又发生反射与透射，而且此分界面上的反射波回到媒质①和②的分界面上时再次发生反射与透射。



由此可见，在两个分界面上发生多次反射与透射现象。

媒质①和②中存在两种平面波，其一是向正 $z$ 方向传播的波，另一是向负 $z$ 方向传播的波，在媒质③中仅存在向正 $z$ 方向传播的波。因此，各个媒质中的电场和磁场强度可以分别表示为

$$\vec{E}_1(z) = \vec{e}_x (E_{1\text{im}} e^{-j\beta_1 z} + E_{1\text{rm}} e^{j\beta_1 z}) = \vec{e}_x E_{1\text{im}} (e^{-j\beta_1 z} + \Gamma_1 e^{j\beta_1 z})$$

$$\vec{H}_1(z) = \vec{e}_y \frac{E_{1\text{im}}}{\eta_1} (e^{-j\beta_1 z} - \Gamma_1 e^{j\beta_1 z})$$

$$\Gamma_1 = \frac{E_{1\text{rm}}}{E_{1\text{im}}}$$

$$\vec{E}_2(z) = \vec{e}_x [E_{2\text{im}} e^{-j\beta_2(z-d)} + E_{2\text{rm}} e^{j\beta_2(z-d)}] = \vec{e}_x \tau_1 E_{1\text{im}} [e^{-j\beta_2(z-d)} + \Gamma_2 e^{j\beta_2(z-d)}]$$

$$\vec{H}_2(z) = \vec{e}_y \frac{\tau_1 E_{1\text{im}}}{\eta_2} [e^{-j\beta_2(z-d)} - \Gamma_2 e^{j\beta_2(z-d)}]$$

$$\tau_1 = \frac{E_{2\text{im}}}{E_{1\text{im}}}$$

$$\vec{E}_3(z) = \vec{e}_x E_{3\text{tm}} e^{-j\beta_3(z-d)} = \vec{e}_x \tau_1 \tau_2 E_{1\text{im}} e^{-j\beta_3(z-d)}$$

$$\Gamma_2 = \frac{E_{2\text{rm}}}{E_{2\text{im}}}$$

$$\vec{H}_3(z) = \vec{e}_y \frac{\tau_1 \tau_2 E_{1\text{im}}}{\eta_3} e^{-j\beta_3(z-d)}$$

$$\tau_2 = \frac{E_{3\text{tm}}}{E_{2\text{im}}}$$

根据边界条件，在分界面 $z = d$ 上， $E_2(d) = E_3(d)$ 、 $H_2(d) = H_3(d)$  得

$$\begin{aligned} 1 + \Gamma_2 &= \tau_2 \\ \frac{1}{\eta_2}(1 - \Gamma_2) &= \frac{\tau_2}{\eta_3} \end{aligned} \quad \rightarrow \quad \Gamma_2 = \frac{\eta_3 - \eta_2}{\eta_3 + \eta_2}, \quad \tau_2 = \frac{2\eta_3}{\eta_3 + \eta_2}$$

在分界面 $z = 0$  上， $E_1(0) = E_2(0)$ 、 $H_1(0) = H_2(0)$ ，得

$$1 + \Gamma_1 = \tau_1 [e^{j\beta_2 d} + \Gamma_2 e^{-j\beta_2 d}]$$

$$\frac{1}{\eta_1}(1 - \Gamma_1) = \frac{\tau_1}{\eta_2} [e^{j\beta_2 d} - \Gamma_2 e^{-j\beta_2 d}]$$

$$\rightarrow \quad \Gamma_1 = \frac{\eta_{\text{ef}} - \eta_1}{\eta_{\text{ef}} + \eta_1}, \quad \tau_1 = \frac{1 + \Gamma_1}{e^{j\beta_2 d} + \Gamma_2 e^{-j\beta_2 d}}$$

等效波阻抗

其中： $\eta_{\text{ef}} = \eta_2 \frac{e^{j\beta_2 d} + \Gamma_2 e^{-j\beta_2 d}}{e^{j\beta_2 d} - \Gamma_2 e^{-j\beta_2 d}} = \eta_2 \frac{\eta_3 + j\eta_2 \tan(\beta_2 d)}{\eta_2 + j\eta_3 \tan(\beta_2 d)}$

在计算多层媒质的第一个分界面上的总反射系数时，引入等效波阻抗概念可以简化求解过程。

定义媒质中任一点的合成波电场与合成波磁场之比为该点的波阻抗  $\eta(z)$ ，即

$$\eta(z) = \frac{E(z)}{H(z)}$$

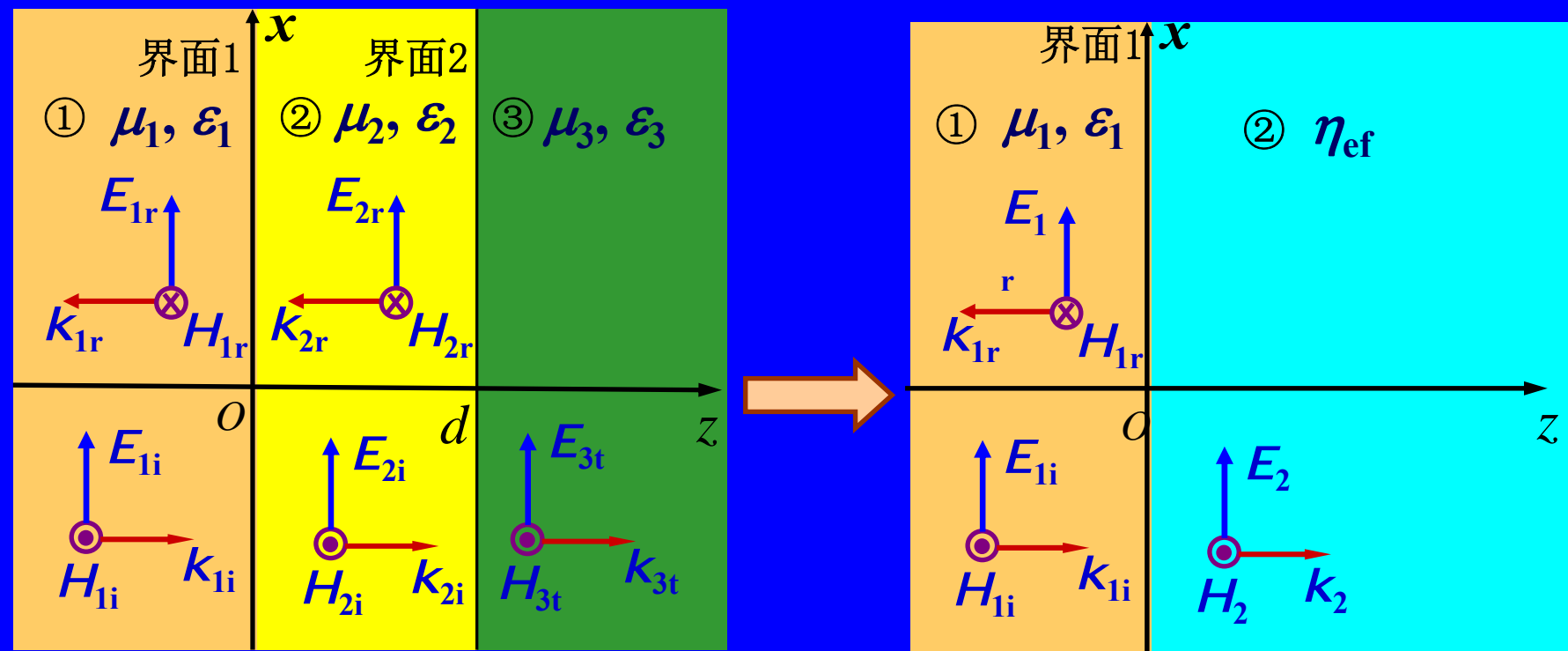
则媒质②中任一点的波阻抗为

$$\eta_2(z) = \frac{E_2(z)}{H_2(z)} = \eta_2 \frac{e^{-j\beta_2(z-d)} + \Gamma_2 e^{j\beta_2(z-d)}}{e^{-j\beta_2(z-d)} - \Gamma_2 e^{j\beta_2(z-d)}}$$

在  $z=0$  处，有  $\eta_2(0) = \eta_2 \frac{e^{j\beta_2 d} + \Gamma_2 e^{-j\beta_2 d}}{e^{j\beta_2 d} - \Gamma_2 e^{-j\beta_2 d}} = \eta_{ef}$

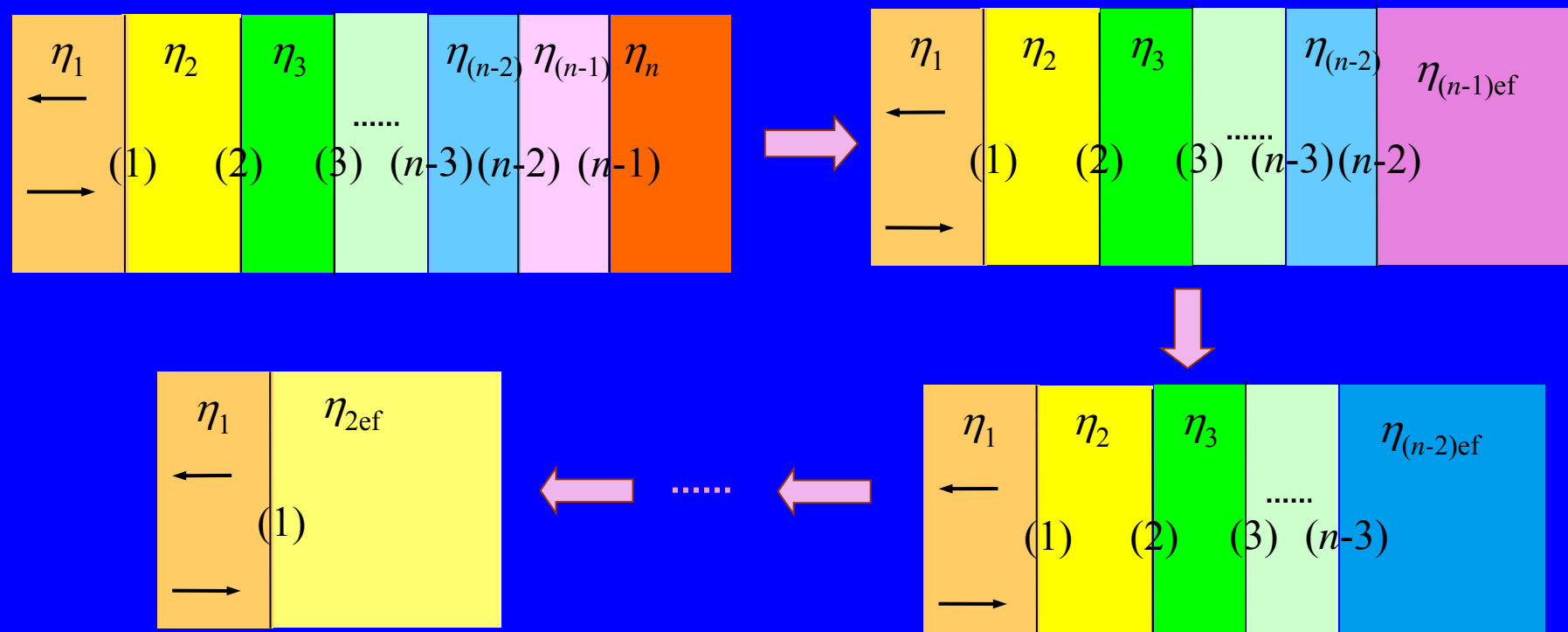
由此可见， $\eta_{ef}$  即为媒质②中  $z=0$  处的波阻抗。

引入等效波阻抗以后，在计算第一层媒质分界面上的反射系数 $\Gamma_1$ 时，第二层媒质和第三层媒质可以看作等效波阻抗为 $\eta_{\text{ef}}$ 的一种媒质。



利用等效波阻抗计算  $n$  层媒质的第一条边界上的总反射系数时，首先求出第  $(n-2)$  条分界面处的等效波阻抗  $\eta_{(n-2)\text{ef}}$ ，然后用波阻抗为  $\eta_{(n-2)\text{ef}}$  的媒质代替第  $(n-1)$  层及第  $n$  层媒质。

依次类推，自右向左逐一计算各条分界面处的等效波阻抗，直至求得第一条边界处的等效波阻抗后，即可计算总反射系数。

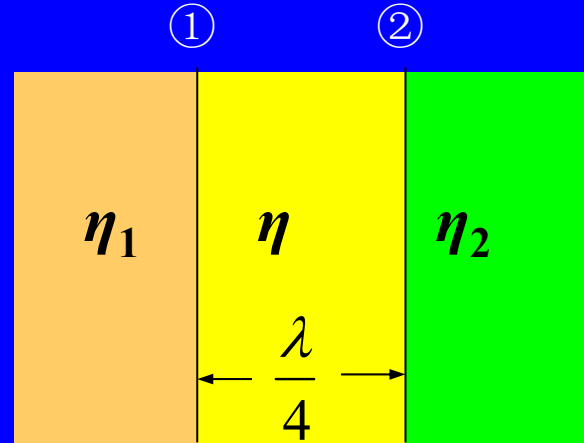


### 6.2.2 四分之一波长匹配层

设两种理想介质的波阻抗分别为 $\eta_1$ 与 $\eta_2$ ，为了消除分界面的反射，可在两种理想介质中间插入厚度为四分之一波长（该波长是指平面波在夹层中的波长）的理想介质夹层，如图所示。

首先求出第一个分界面上的等

效波阻抗。考虑到



$$d = \frac{\lambda}{4} \implies \beta d = \frac{\pi}{2}$$

$$\eta_{\text{ef}} = \eta \frac{\eta_2 + j\eta \tan(\beta d)}{\eta + j\eta_2 \tan(\beta d)} = \frac{\eta^2}{\eta_2}$$

为了消除反射，必须要求  $\eta_{\text{ef}} = \eta_1$ ，那么由上式得

$$\eta_1 = \frac{\eta^2}{\eta_2} \implies \eta = \sqrt{\eta_1 \eta_2}$$

### 6.2.3 半波长介质窗

如果介质1和介质3是相同的介质，即  $\eta_3 = \eta_1$ ，当介质2的厚度  $d = \lambda_2 / 2$  时，有

$$\tan(\beta_2 d) = \tan\left(\frac{2\pi}{\lambda_2} \frac{\lambda_2}{2}\right) = \tan \pi = 0 \rightarrow \eta_{\text{ef}} = \eta_2 \frac{\eta_3 + j\eta_2 \tan(\beta_2 d)}{\eta_2 + j\eta_3 \tan(\beta_2 d)} = \eta_3 = \eta_1$$

由此得到介质1与介质2的分界面上的反射系数  $\Gamma_1 = \frac{\eta_{\text{ef}} - \eta_1}{\eta_{\text{ef}} + \eta_1} = 0$

$$\text{同时, } d = \lambda_2 / 2 \rightarrow \beta_2 d = \pi \rightarrow \tau_1 = \frac{1 + \Gamma_1}{e^{j\beta_2 d} + \Gamma_2 e^{-j\beta_2 d}} = -\frac{1}{1 + \Gamma_2}$$

$$\rightarrow \tau_1 \tau_2 = -1 \rightarrow E_{3\text{tm}} = -E_{1\text{im}}$$

结论：电磁波可以无损耗地通过厚度为  $\lambda/2$  的介质层。因此，这种厚度  $d = \lambda/2$  的介质层又称为半波长介质窗。

**应用：**雷达天线罩的设计就利用了这个原理。为了使雷达天线免受恶劣环境的影响，通常用天线罩将天线保护起来，若天线罩的介质层厚度设计为该介质中的电磁波的半个波长，就可以消除天线罩对电磁波的反射。

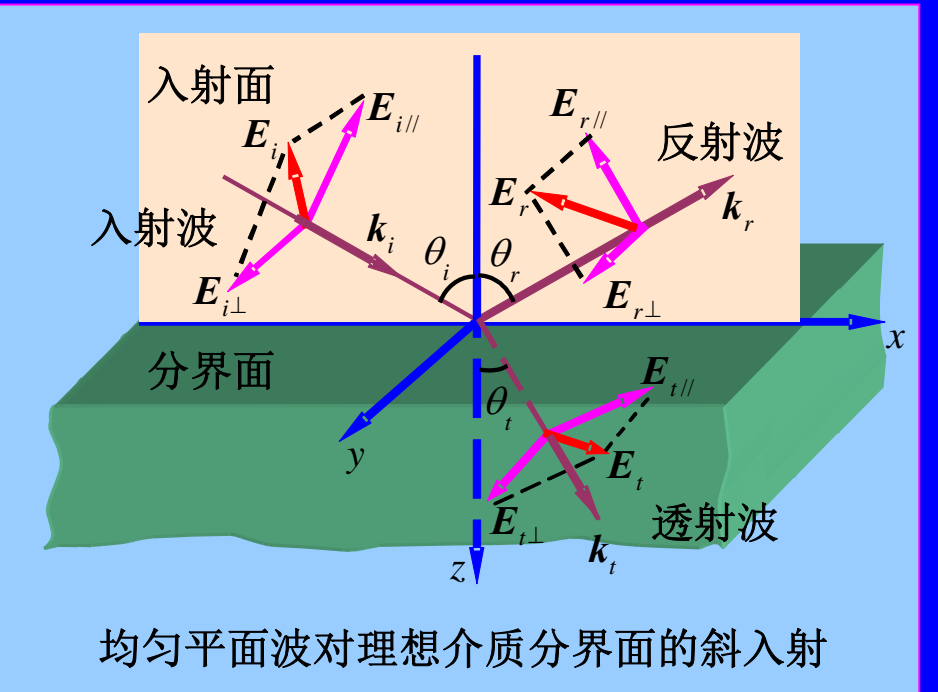
此外，如果夹层媒质的相对介电常数等于相对磁导率，即 $\epsilon_r = \mu_r$ ，那么，夹层媒质的波阻抗等于真空的波阻抗。

当这种夹层置于空气中，平面波向其表面正投射时，无论夹层的厚度如何，反射现象均不可能发生。换言之，这种媒质对于电磁波似乎是完全“透明”的。

由此可见，若使用这种媒质制成保护天线的天线罩，其电磁特性十分优越。但是，普通媒质的磁导率很难与介电常数达到同一数量级。近来研发的新型磁性材料可以接近这种需求。

## 6.3 均匀平面波对理想介质分界平面的斜入射

当平面波向平面边界上以任意角度斜投射时，同样会发生反射与透射现象，而且通常透射波的方向与入射波不同，其传播方向发生弯折。因此，这种透射波又称为折射波。



入射面：入射线与边界法线构成的平面

入射角 $\theta_i$ ：入射线与边界法线之间的夹角

反射角 $\theta_r$ ：反射线与边界法线之间的夹角

折射角 $\theta_t$ ：折射线与边界法线之间的夹角

### 6.3.1 反射定律与折射定律

设入射面位于  $xz$  平面内

入射波电场强度

$$\vec{E}_i(\vec{r}) = \vec{E}_{im} e^{-jk_1(x\sin\theta_i + z\cos\theta_i)}$$

反射波电场强度

$$\vec{E}_r(\vec{r}) = \vec{E}_{rm} e^{-jk_1(x\sin\theta_r - z\cos\theta_r)}$$

折射波电场强度

$$\vec{E}_t(\vec{r}) = \vec{E}_{tm} e^{-jk_2(x\sin\theta_t + z\cos\theta_t)}$$

由于分界面 ( $z=0$ ) 上电场切向分量连续, 得

$$\vec{e}_z \times [\vec{E}_{im} e^{-jk_1 x \sin\theta_i} + \vec{E}_{rm} e^{-jk_1 x \sin\theta_r}] - \vec{e}_z \times \vec{E}_{tm} e^{-jk_2 x \sin\theta_t}$$

上述等式对于任意  $x$  均应成立, 因此各项指数中对应的系数应该相等, 即

$$k_1 \sin\theta_i = k_1 \sin\theta_r = k_2 \sin\theta_t \quad \text{——相位匹配条件。}$$

由  $k_1 \sin \theta_i = k_1 \sin \theta_r$  , 得

$\theta_r = \theta_i$  —— 反射角  $\theta_r$  等于入射角  $\theta_i$   
(斯耐尔反射定律)

由  $k_1 \sin \theta_i = k_2 \sin \theta_t$  , 得

$\frac{\sin \theta_i}{\sin \theta_t} = \frac{k_2}{k_1}$  —— 折射角  $\theta_t$  与入射角  $\theta_i$  的关系  
(斯耐尔折射定律)

式中  $k_1 = \omega \sqrt{\epsilon_1 \mu_1}$  ,  $k_2 = \omega \sqrt{\epsilon_2 \mu_2}$  。

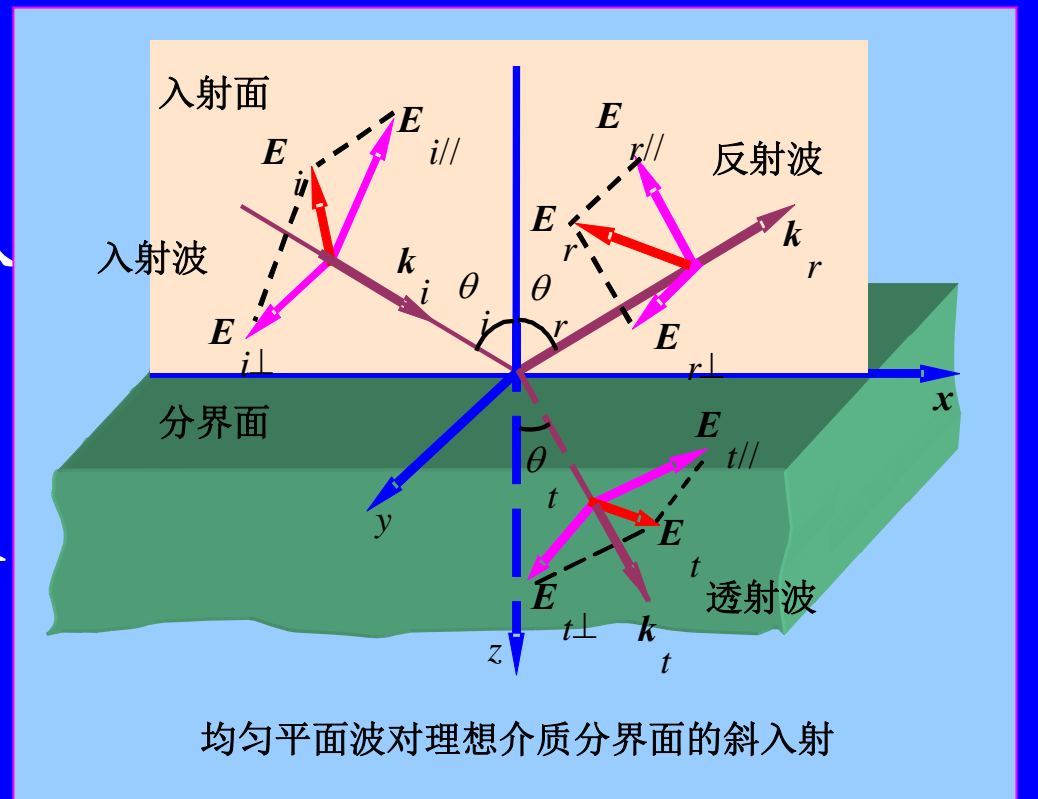
上述两条结论总称为斯耐尔定律。

斯耐尔定律描述了电磁波的反射和折射规律，具有广泛应用。

### 6.3.2 反射系数与折射系数

斜入射时的反射系数及透射系数与平面波的极化特性有关。

- 定义（如图所示）
- 垂直极化波：电场方向与入射面垂直的平面波；
- 平行极化波：电场方向与入射面平行的平面波。



任意极化波 = 平行极化波 + 垂直极化波

## 1. 垂直极化波的反射系数与透射系数

媒质1中的入射波:

$$\text{由于 } \vec{k}_i = \vec{e}_i k_i, \quad k_i = \omega \sqrt{\mu_i \epsilon_i}$$

$$\vec{e}_i = \vec{e}_x \sin \theta_i + \vec{e}_z \cos \theta_i$$

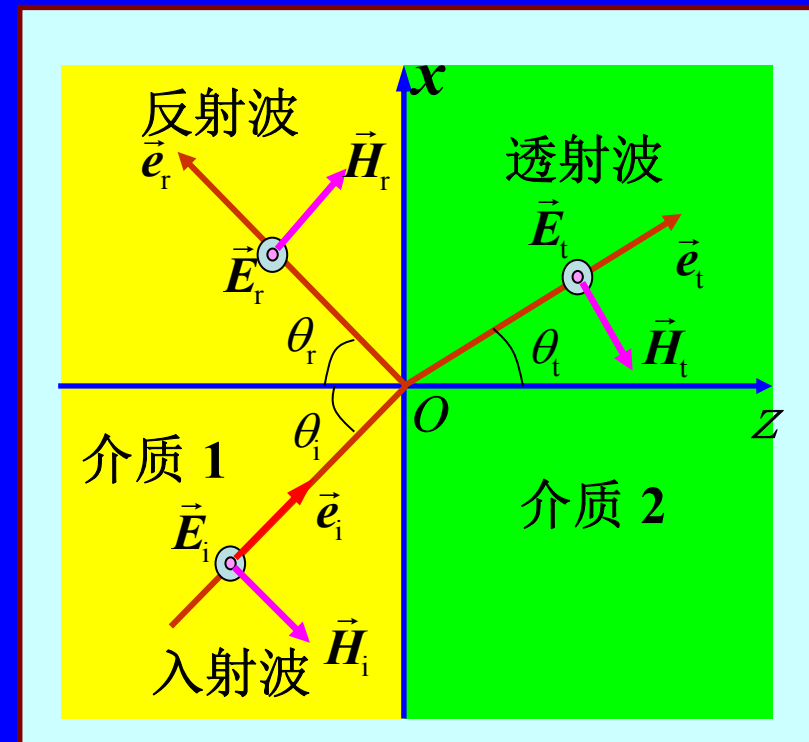
$$\vec{r} = \vec{e}_x x + \vec{e}_y y + \vec{e}_z z$$

$$\text{故 } \vec{E}_i(\vec{r}) = \vec{e}_y E_{im} e^{-jk_i(x \sin \theta_i + z \cos \theta_i)}$$

$$\vec{H}_i(\vec{r}) = \frac{1}{\eta_i} \vec{e}_i \times \vec{E}_i(\vec{r})$$

$$= \frac{1}{\eta_i} (\vec{e}_x \sin \theta_i + \vec{e}_z \cos \theta_i) \times \vec{e}_y E_{im} e^{-jk_i(x \sin \theta_i + z \cos \theta_i)}$$

$$= (\vec{e}_z \sin \theta_i - \vec{e}_x \cos \theta_i) \frac{E_{im}}{\eta_i} e^{-jk_i(x \sin \theta_i + z \cos \theta_i)}$$



媒质1中的反射波：

$$\text{由于 } \vec{k}_r = \vec{e}_r k_1, \quad k_1 = \omega \sqrt{\mu_1 \epsilon_1}$$

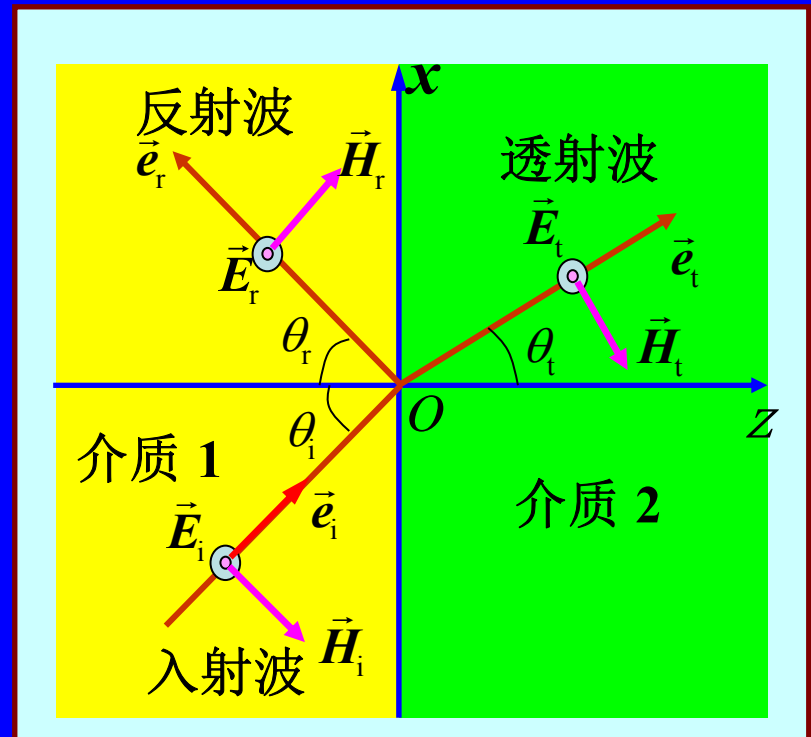
$$\vec{e}_r = \vec{e}_x \sin \theta_i - \vec{e}_z \cos \theta_i$$

$$\begin{aligned} \text{故 } \vec{E}_r(\vec{r}) &= \vec{e}_y \Gamma_{\perp} E_{im} e^{-jk_r \cdot \vec{r}} \\ &= \vec{e}_y \Gamma_{\perp} E_{im} e^{-jk_1(x \sin \theta_i - z \cos \theta_i)} \end{aligned}$$

$$\vec{H}_r(\vec{r}) = \frac{1}{\eta_1} \vec{e}_r \times \vec{E}_r(\vec{r})$$

$$= \frac{1}{\eta_1} (\vec{e}_x \sin \theta_i - \vec{e}_z \cos \theta_i) \times \vec{e}_y \Gamma_{\perp} E_{im} e^{-jk_1(x \sin \theta_i - z \cos \theta_i)}$$

$$= (\vec{e}_z \sin \theta_i + \vec{e}_x \cos \theta_i) \frac{\Gamma_{\perp} E_{im}}{\eta_1} e^{-jk_1(x \sin \theta_i - z \cos \theta_i)}$$



媒质1中的合成波：

$$\begin{aligned}\vec{E}_1(\vec{r}) &= \vec{E}_i(\vec{r}) + \vec{E}_r(\vec{r}) \\ &= \vec{e}_y E_{\text{im}} [e^{-jk_1(x\sin\theta_i + z\cos\theta_i)} + \Gamma_\perp e^{-jk_1(x\sin\theta_i - z\cos\theta_i)}] \\ &= \vec{e}_y E_{\text{im}} (e^{-jk_1 z \cos\theta_i} + \Gamma_\perp e^{jk_1 z \cos\theta_i}) e^{-jk_1 x \sin\theta_i}\end{aligned}$$

$$\begin{aligned}\vec{H}_1(\vec{r}) &= \vec{H}_i(\vec{r}) + \vec{H}_r(\vec{r}) \\ &= \vec{e}_z \frac{E_{\text{im}}}{\eta_1} \sin\theta_i [e^{-jk_1(x\sin\theta_i + z\cos\theta_i)} + \Gamma_\perp e^{-jk_1(x\sin\theta_i - z\cos\theta_i)}] \\ &\quad - \vec{e}_x \frac{E_{\text{im}}}{\eta_1} \cos\theta_i [e^{-jk_1(x\sin\theta_i + z\cos\theta_i)} - \Gamma_\perp e^{-jk_1(x\sin\theta_i - z\cos\theta_i)}] \\ &= \vec{e}_z \frac{E_{\text{im}}}{\eta_1} \sin\theta_i [e^{-jk_1 z \cos\theta_i} + \Gamma_\perp e^{jk_1 z \cos\theta_i}] e^{-jk_1 x \sin\theta_i} \\ &\quad - \vec{e}_x \frac{E_{\text{im}}}{\eta_1} \cos\theta_i [e^{-jk_1 z \cos\theta_i} - \Gamma_\perp e^{jk_1 z \cos\theta_i}] e^{-jk_1 x \sin\theta_i}\end{aligned}$$

媒质2中的透射波：

$$\text{由于 } \vec{k}_t = k_2 \vec{e}_t, \quad k_2 = \omega \sqrt{\mu_2 \epsilon_2}$$

$$\vec{e}_t = \vec{e}_x \sin \theta_t + \vec{e}_z \cos \theta_t$$

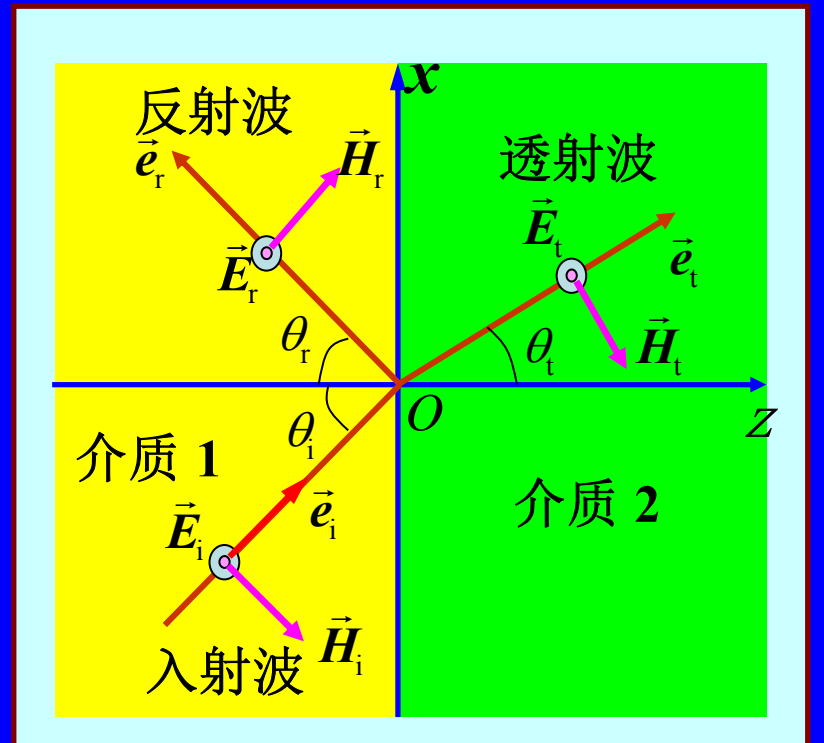
$$\vec{r} = \vec{e}_x x + \vec{e}_y y + \vec{e}_z z$$

$$\begin{aligned} \text{故 } \vec{E}_2(\vec{r}) &= \vec{E}_t(\vec{r}) \\ &= \vec{e}_y \tau_{\perp} E_{im} e^{-jk_2(x \sin \theta_t + z \cos \theta_t)} \end{aligned}$$

$$\vec{H}_2(\vec{r}) = \vec{H}_t(\vec{r}) = \frac{1}{\eta_2} \vec{e}_t \times \vec{E}_t(\vec{r})$$

$$= \frac{1}{\eta_2} (\vec{e}_x \sin \theta_t + \vec{e}_z \cos \theta_t) \times \vec{e}_y \tau_{\perp} E_{im} e^{-jk_t \cdot \vec{r}}$$

$$= (\vec{e}_z \sin \theta_t - \vec{e}_x \cos \theta_t) \frac{\tau_{\perp} E_{im}}{\eta_2} e^{-jk_2(x \sin \theta_t + z \cos \theta_t)}$$



分界面上电场强度和磁场强度的切向分量连续，有

$$E_{1y}(x,0) = E_{2y}(x,0) \quad \rightarrow \quad 1 + \Gamma_{\perp} = \tau_{\perp}$$

$$H_{1x}(x,0) = H_{2x}(x,0) \quad \rightarrow \quad \frac{\cos \theta_i}{\eta_1} (1 - \Gamma_{\perp}) = \frac{\cos \theta_t}{\eta_2} \tau_{\perp}$$

$$\rightarrow \left\{ \begin{array}{l} \Gamma_{\perp} = \frac{\eta_2 \cos \theta_i - \eta_1 \cos \theta_t}{\eta_2 \cos \theta_i + \eta_1 \cos \theta_t} \\ \tau_{\perp} = \frac{2 \eta_2 \cos \theta_i}{\eta_2 \cos \theta_i + \eta_1 \cos \theta_t} \end{array} \right. \quad \text{菲涅尔公式}$$

对于非磁性介质， $\mu_1 = \mu_2 = \mu_0$ ，则

$$\frac{\eta_1}{\eta_2} = \sqrt{\frac{\epsilon_1}{\epsilon_2}}, \quad \sin \theta_t = \sqrt{\frac{\epsilon_1}{\epsilon_2}} \sin \theta_i$$

$$\left\{ \begin{array}{l} \Gamma_{\perp} = \frac{\cos \theta_i - \sqrt{\epsilon_2 / \epsilon_1 - \sin^2 \theta_i}}{\cos \theta_i + \sqrt{\epsilon_2 / \epsilon_1 - \sin^2 \theta_i}} \\ \tau_{\perp} = \frac{2 \cos \theta_i}{\cos \theta_i + \sqrt{\epsilon_2 / \epsilon_1 - \sin^2 \theta_i}} \end{array} \right.$$

## 2. 平行极化波的反射系数与透射系数

### ■ 媒质1中的入射波

由于  $\vec{k}_i = \vec{e}_i k_i = \vec{e}_i \omega \sqrt{\mu_1 \epsilon_1}$ ,

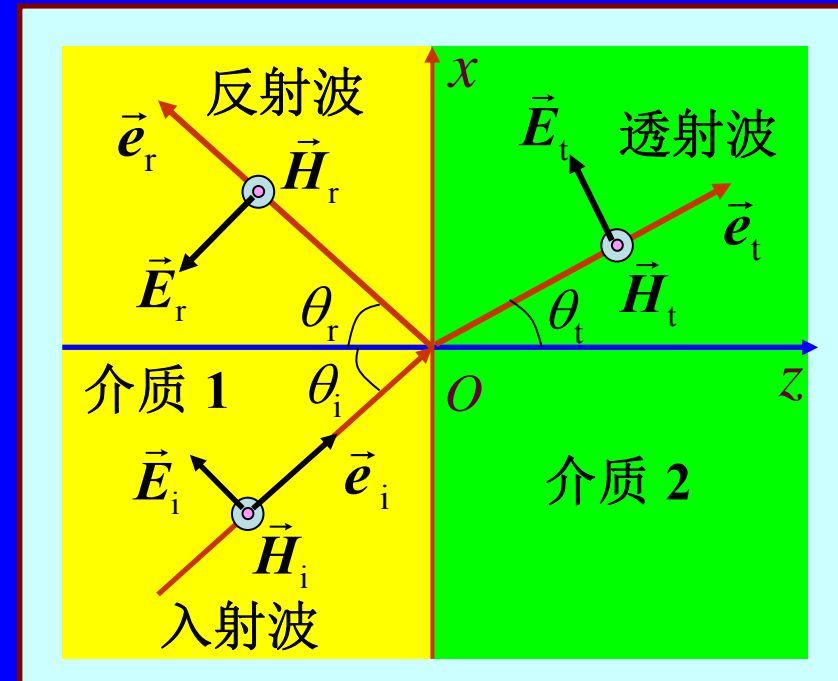
$$\vec{e}_i = \vec{e}_x \sin \theta_i + \vec{e}_z \cos \theta_i$$

故

$$\vec{H}_i(\vec{r}) = \vec{e}_y \frac{E_{im}}{\eta_1} e^{-jk_1(x \sin \theta_i + z \cos \theta_i)}$$

$$\vec{E}_i(\vec{r}) = \eta_1 \vec{H}_i(\vec{r}) \times \vec{e}_i$$

$$= (\vec{e}_x \cos \theta_i - \vec{e}_z \sin \theta_i) E_{im} e^{-jk_1(x \sin \theta_i + z \cos \theta_i)}$$



## ■ 媒质1中的反射波

由于  $\vec{k}_r = \vec{e}_r k_1$ ,  $k_1 = \omega \sqrt{\mu_1 \epsilon_1}$ ,

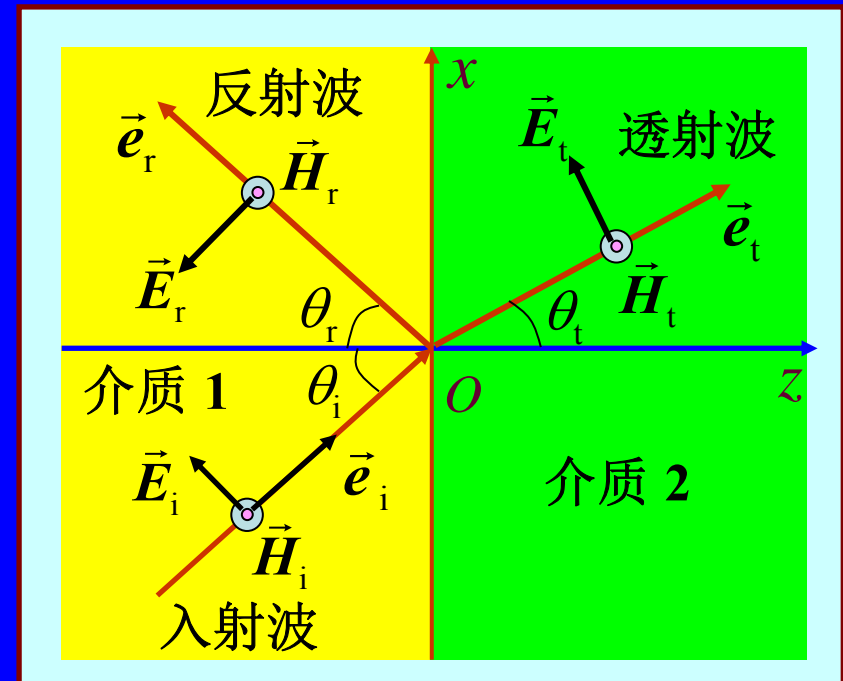
故  $\vec{e}_r = \vec{e}_x \sin \theta_i - \vec{e}_z \cos \theta_i$

$$\vec{H}_r(\vec{r}) = \vec{e}_y \frac{\Gamma_{//} E_{im}}{\eta_1} e^{-jk_1(x \sin \theta_i - z \cos \theta_i)}$$

$$\vec{E}_r(\vec{r}) = \eta_1 \vec{H}_r(\vec{r}) \times \vec{e}_r$$

$$= (-\vec{e}_x \cos \theta_i - \vec{e}_z \sin \theta_i) \Gamma_{//} E_{im} e^{-jk_1(x \sin \theta_i - z \cos \theta_i)}$$

其中  $\Gamma_{//} = \frac{E_{rm}}{E_{im}}$



## ■ 媒质1中的合成波

$$\begin{aligned}\vec{E}_1(\vec{r}) &= \vec{E}_i(\vec{r}) + \vec{E}_r(\vec{r}) \\ &= \vec{e}_z E_{im} \sin \theta_i (-e^{-jk_1 z \cos \theta_i} - \Gamma_{//} e^{jk_1 z \cos \theta_i}) e^{-jk_1 x \sin \theta_i} + \\ &\quad \vec{e}_x E_{im} \cos \theta_i (e^{-jk_1 z \cos \theta_i} - \Gamma_{//} e^{jk_1 z \cos \theta_i}) e^{-jk_1 x \sin \theta_i}\end{aligned}$$

$$\begin{aligned}\vec{H}_1(\vec{r}) &= \vec{H}_i(\vec{r}) + \vec{H}_r(\vec{r}) \\ &= \vec{e}_y \frac{E_{im}}{\eta_1} (e^{-jk_1 z \cos \theta_i} + \Gamma_{//} e^{jk_1 z \cos \theta_i}) e^{-jk_1 x \sin \theta_i}\end{aligned}$$

## ■ 媒质2中的透射波

$$\vec{k}_t = k_2 \vec{e}_t, \quad k_2 = \omega \sqrt{\mu_2 \epsilon_2},$$

$$\vec{e}_t = \vec{e}_x \sin \theta_t + \vec{e}_z \cos \theta_t$$

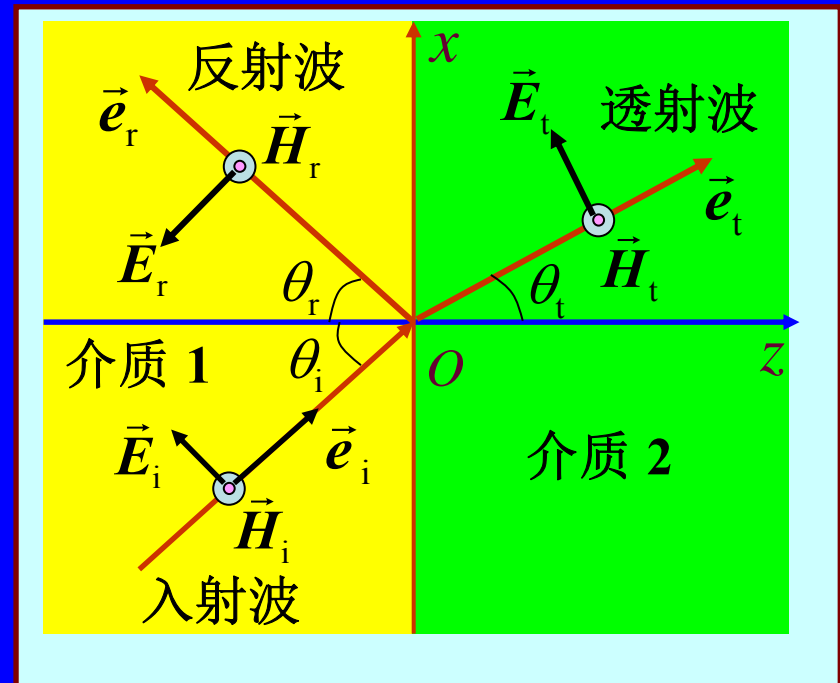
$$\vec{H}_2(\vec{r}) = \vec{H}_t(\vec{r})$$

$$= \vec{e}_y \frac{\tau_{//} E_{im}}{\eta_2} e^{-jk_2(x \sin \theta_t + z \cos \theta_t)}$$

$$\vec{E}_2(\vec{r}) = \vec{E}_t(\vec{r}) = \eta_2 \vec{H}_t(\vec{r}) \times \vec{e}_t$$

$$= (-\vec{e}_z \sin \theta_t + \vec{e}_x \cos \theta_t) \tau_{//} E_{im} e^{-jk_2(x \sin \theta_t + z \cos \theta_t)}$$

其中  $\tau_{//} = \frac{E_{tm}}{E_{im}}$



分界面上电场强度和磁场强度切向分量连续，即

$$E_{1x}(\vec{r})|_{z=0} = E_{2x}(\vec{r})|_{z=0} \quad \rightarrow \quad (1 - \Gamma_{\parallel}) \cos \theta_i = \tau_{\parallel} \cos \theta_t$$

$$H_{1y}(\vec{r})|_{z=0} = H_{2y}(\vec{r})|_{z=0} \quad \rightarrow \quad \frac{1}{\eta_1} (1 + \Gamma_{\parallel}) = \frac{1}{\eta_2} \tau_{\parallel}$$

$$\rightarrow \left\{ \begin{array}{l} \Gamma_{\parallel} = \frac{\eta_1 \cos \theta_i - \eta_2 \cos \theta_t}{\eta_1 \cos \theta_i + \eta_2 \cos \theta_t} \\ \tau_{\parallel} = \frac{2\eta_2 \cos \theta_i}{\eta_1 \cos \theta_i + \eta_2 \cos \theta_t} \end{array} \right. \quad \text{菲涅尔公式}$$

对于非磁性介质， $\mu_1 = \mu_2 = \mu_0$ ，则

$$\frac{\eta_1}{\eta_2} = \sqrt{\frac{\epsilon_1}{\epsilon_2}}, \quad \sin \theta_t = \sqrt{\frac{\epsilon_1}{\epsilon_2}} \sin \theta_i$$

$$\rightarrow \left\{ \begin{array}{l} \Gamma_{\parallel} = \frac{(\epsilon_2/\epsilon_1) \cos \theta_i - \sqrt{(\epsilon_2/\epsilon_1) - \sin^2 \theta_i}}{(\epsilon_2/\epsilon_1) \cos \theta_i + \sqrt{(\epsilon_2/\epsilon_1) - \sin^2 \theta_i}} \\ \tau_{\parallel} = \frac{2\sqrt{(\epsilon_2/\epsilon_1)} \cos \theta_i}{(\epsilon_2/\epsilon_1) \cos \theta_i + \sqrt{(\epsilon_2/\epsilon_1) - \sin^2 \theta_i}} \end{array} \right.$$

## ■ 小结

- 分界面上的相位匹配关系

$$k_1 \sin \theta_i = k_1 \sin \theta_r = k_2 \sin \theta_t$$

- 反射定律  $\theta_i = \theta_r$
- 折射定律  $k_1 \sin \theta_i = k_2 \sin \theta_t$  或  $n_1 \sin \theta_i = n_2 \sin \theta_t$
- 反射系数、折射系数与两种媒质性质、入射角大小以及入射波的极化方式有关，由菲涅尔公式确定。

## 反射系数、折射系数

$$\begin{cases} \Gamma_{\perp} = \frac{\eta_2 \cos \theta_i - \eta_1 \cos \theta_t}{\eta_2 \cos \theta_i + \eta_1 \cos \theta_t} \\ \tau_{\perp} = \frac{2\eta_2 \cos \theta_i}{\eta_2 \cos \theta_i + \eta_1 \cos \theta_t} \end{cases}$$

$$\begin{cases} \Gamma_{\perp} = \frac{\cos \theta_i - \sqrt{\epsilon_2/\epsilon_1 - \sin^2 \theta_i}}{\cos \theta_i + \sqrt{\epsilon_2/\epsilon_1 - \sin^2 \theta_i}} \\ \tau_{\perp} = \frac{2 \cos \theta_i}{\cos \theta_i + \sqrt{\epsilon_2/\epsilon_1 - \sin^2 \theta_i}} \end{cases}$$

$$\begin{cases} \Gamma_{//} = \frac{\eta_1 \cos \theta_i - \eta_2 \cos \theta_t}{\eta_1 \cos \theta_i + \eta_2 \cos \theta_t} \\ \tau_{//} = \frac{2\eta_2 \cos \theta_i}{\eta_1 \cos \theta_i + \eta_2 \cos \theta_t} \end{cases}$$

$$\begin{cases} \Gamma_{//} = \frac{(\epsilon_2/\epsilon_1) \cos \theta_i - \sqrt{(\epsilon_2/\epsilon_1) - \sin^2 \theta_i}}{(\epsilon_2/\epsilon_1) \cos \theta_i + \sqrt{(\epsilon_2/\epsilon_1) - \sin^2 \theta_i}} \\ \tau_{//} = \frac{2\sqrt{(\epsilon_2/\epsilon_1)} \cos \theta_i}{(\epsilon_2/\epsilon_1) \cos \theta_i + \sqrt{(\epsilon_2/\epsilon_1) - \sin^2 \theta_i}} \end{cases}$$

### 6.3.3 全反射与全透射

#### 1. 全反射与临界角

问题：电磁波在理想导体表面会产生全反射，在理想介质表面也会产生全反射吗？

概念：反射系数的模等于 1 的电磁现象称为全反射。

条件：（非磁性媒质，即  $\mu_1 = \mu_2 = \mu_0$ ）

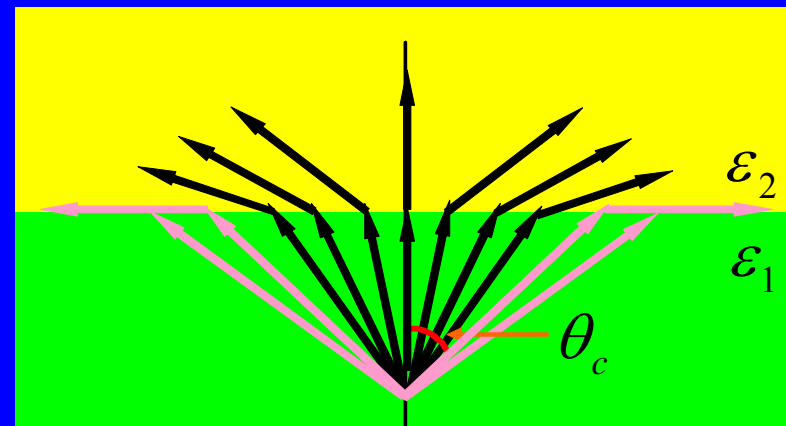
由于 
$$\Gamma_{\perp} = \frac{\cos \theta_i - \sqrt{\epsilon_2 / \epsilon_1 - \sin^2 \theta_i}}{\cos \theta_i + \sqrt{\epsilon_2 / \epsilon_1 - \sin^2 \theta_i}}$$

$$\Gamma_{\parallel} = \frac{(\epsilon_2 / \epsilon_1) \cos \theta_i - \sqrt{\epsilon_2 / \epsilon_1 - \sin^2 \theta_i}}{(\epsilon_2 / \epsilon_1) \cos \theta_i + \sqrt{\epsilon_2 / \epsilon_1 - \sin^2 \theta_i}}$$

当  $\frac{\epsilon_2}{\epsilon_1} - \sin^2 \theta_i \leq 0$   $\rightarrow \sin \theta_i \geq \sqrt{\epsilon_2 / \epsilon_1}$   $\rightarrow |\Gamma_{\perp}| = |\Gamma_{\parallel}| = 1$

因此得到，产生全反射的条件为：

- 电磁波由稠密媒质入射到稀疏媒质中，即  $\epsilon_1 > \epsilon_2$ ；
  - 入射角不小于  $\theta_c = \arcsin \sqrt{\epsilon_2 / \epsilon_1}$ ， $\theta_c$  称为全反射的临界角。
- 对全反射的进一步讨论
- $\theta_i < \theta_c$  时，不产生全反射。
  - $\theta_i = \theta_c$  时， $\sin \theta_t = \sqrt{\frac{\epsilon_1}{\epsilon_2}} \sin \theta_c = 1$   
 $\Rightarrow \theta_t = 90^\circ \Rightarrow \Gamma_{\perp} = \Gamma_{\parallel} = 1$



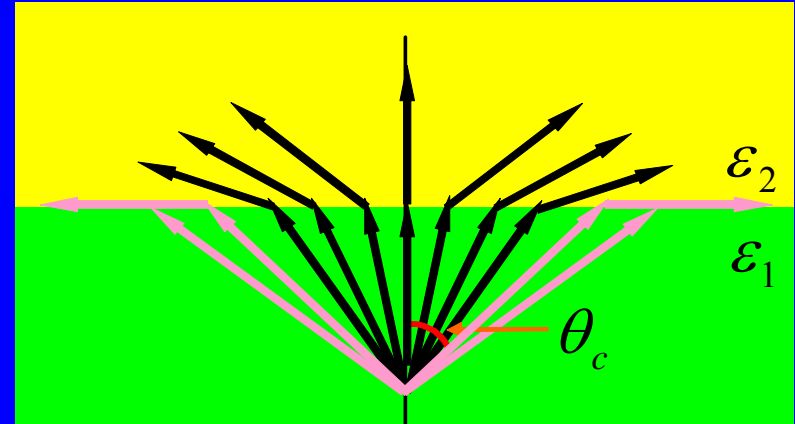
透射波沿分界面方向传播，没有沿Z方向传播的功率，并且反射功率密度将等于入射功率密度。

●  $\theta_i > \theta_c$  时,  $\sin \theta_i > \sin \theta_c = \sqrt{\frac{\epsilon_2}{\epsilon_1}} = \frac{n_2}{n_1}$

$\rightarrow |\Gamma_{\perp}| = |\Gamma_{\parallel}| = 1$

$\rightarrow k_{tz} = k_2 \cos \theta_t = k_2 \sqrt{1 - \sin^2 \theta_t}$

$$= -jk_2 \sqrt{\frac{\epsilon_1}{\epsilon_2} \sin^2 \theta_i - 1} = -jk_2 \alpha$$



透射波电场为  $\vec{E}_t(\vec{r}) = \vec{E}_{tm} e^{-jk_2(x \sin \theta_t + z \cos \theta_t)} = \vec{E}_{tm} e^{-k_2 \alpha z} e^{-jk_2 x \sin \theta_t}$

透射波仍然是沿分界面方向传播，但振幅在垂直于分界面的方向上按指数规律衰减。这种波称为表面波。

**例6.3.1** 下图为光纤的剖面示意图，如果要求光波从空气进入光纤芯线后，在芯线和包层的分界面上发生全反射，从一端传至另一端，确定入射角的最大值。

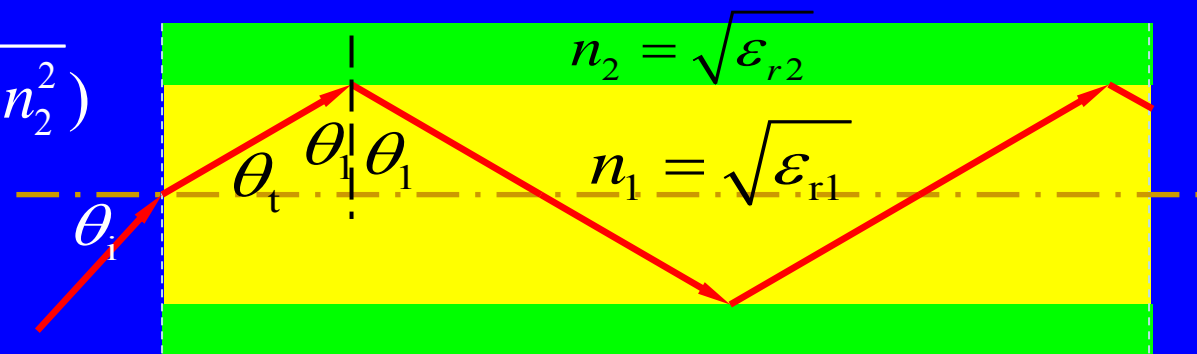
解：在芯线和包层的分界面上发生全反射的条件为

$$\theta_1 \geq \theta_c = \arcsin \sqrt{\epsilon_2 / \epsilon_1} = \arcsin(n_2 / n_1) \rightarrow \sin \theta_1 \geq \sin \theta_c = n_2 / n_1$$

$$\text{由于 } \theta_1 = \frac{\pi}{2} - \theta_t \rightarrow \sin \theta_1 = \sin\left(\frac{\pi}{2} - \theta_t\right) = \cos \theta_t \rightarrow \cos \theta_t \geq \sin \theta_c = \frac{n_2}{n_1}$$

$$\text{所以 } \sin \theta_i = n_1 \sin \theta_t = n_1 \sqrt{1 - \cos^2 \theta_t} \leq n_1 \sqrt{1 - (n_2 / n_1)^2} = \sqrt{n_1^2 - n_2^2}$$

$$\text{故 } \theta_{i\max} = \arcsin(\sqrt{n_1^2 - n_2^2})$$



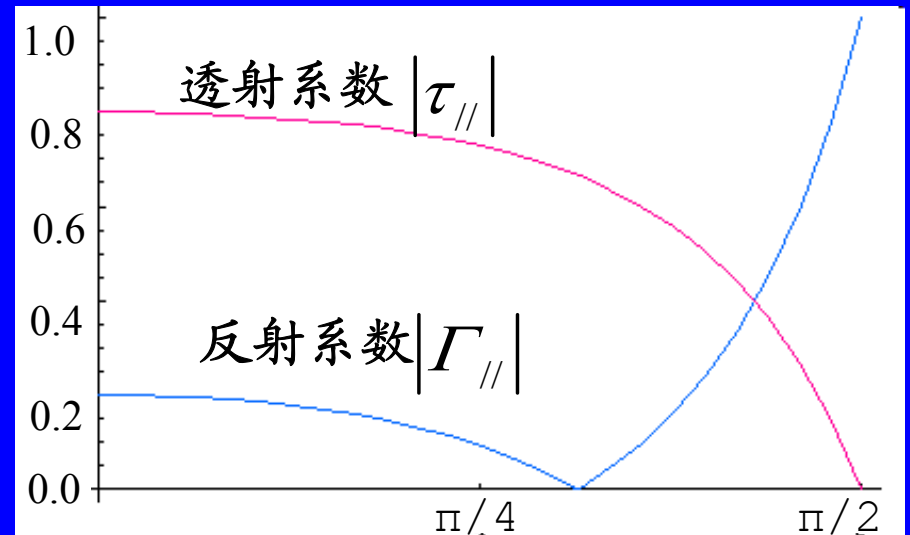
## 2. 全透射和布儒斯特角

- 全透射现象：反射系数为0——无反射波。

$$\Gamma_{//} = \frac{\frac{\epsilon_2}{\epsilon_1} \cos \theta_i - \sqrt{\frac{\epsilon_2}{\epsilon_1} - \sin^2 \theta_i}}{\frac{\epsilon_2}{\epsilon_1} \cos \theta_i + \sqrt{\frac{\epsilon_2}{\epsilon_1} - \sin^2 \theta_i}} = 0$$

$$\rightarrow \theta_i = \arctan \sqrt{\frac{\epsilon_2}{\epsilon_1}} \triangleq \theta_b$$

布儒斯特角



平行极化波

当  $\theta_i = \theta_b$  时，  $\Gamma_{//} = 0$  —— 平行极化波发生全透射。

■  $\theta_b$  的推证

$$\Gamma_{//} = \frac{\frac{\epsilon_2}{\epsilon_1} \cos \theta_i - \sqrt{\frac{\epsilon_2}{\epsilon_1} - \sin^2 \theta_i}}{\frac{\epsilon_2}{\epsilon_1} \cos \theta_i + \sqrt{\frac{\epsilon_2}{\epsilon_1} - \sin^2 \theta_i}} = 0 \rightarrow \frac{\epsilon_2}{\epsilon_1} \cos \theta_i - \sqrt{\frac{\epsilon_2}{\epsilon_1} - \sin^2 \theta_i} = 0$$
$$\left(\frac{\epsilon_2}{\epsilon_1}\right)^2 \cos^2 \theta_i = \frac{\epsilon_2}{\epsilon_1} - \sin^2 \theta_i$$
$$\left(\frac{\epsilon_2}{\epsilon_1}\right)^2 = \frac{\epsilon_2}{\epsilon_1} \sec^2 \theta_i - \tan^2 \theta_i = \frac{\epsilon_2}{\epsilon_1} (\tan^2 \theta_i + 1) - \tan^2 \theta_i$$
$$\tan \theta_i = \sqrt{\epsilon_2 / \epsilon_1} \rightarrow \theta_b = \arctan(\sqrt{\epsilon_2 / \epsilon_1})$$

## ■ 讨论

- 产生全透射时， $\theta_b + \theta_t = \frac{\pi}{2}$ 。
- 在非磁性媒质中，垂直极化入射的波不会产生全透射。
- 任意极化波以 $\theta_i = \theta_b$ 入射时，反射波中只有垂直极化分量——极化滤波。

例6.3.2 一平面波从介质1斜入射到介质与空气的分界面，试计算：（1）当介质1分别为水 $\epsilon_r = 81$ 、玻璃 $\epsilon_r = 9$ 和聚苯乙烯 $\epsilon_r = 1.56$ 时的临界角 $\theta_c$ ；（2）若入射角 $\theta_i = \theta_b$ ，则波全部透射入空气。上述三种介质的 $\theta_i = ?$

解：介质

临界角

$$\theta_c = \arcsin(\sqrt{\epsilon_2 / \epsilon_1})$$

布儒斯特角

$$\theta_b = \arctan(\sqrt{\epsilon_2 / \epsilon_1})$$

水

$6.38^\circ$

$6.34^\circ$

玻璃

$19.47^\circ$

$18.43^\circ$

聚苯乙烯

$38.68^\circ$

$32^\circ$

## 6.4 均匀平面波对理想导体表面的斜入射

### 6.4.1 垂直极化波对理想导体表面的斜入射

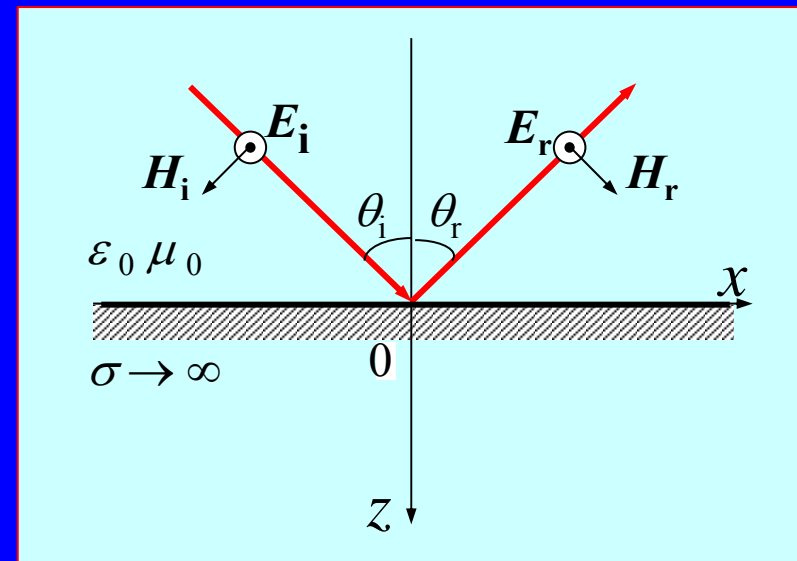
设媒质1为理想介质，媒质2为理想导电体，即  $\sigma_1 = 0, \sigma_2 = \infty$

则媒质2的波阻抗为  $\eta_{2c} = \sqrt{\mu_2 / \epsilon_{2c}} = \sqrt{\mu_2 / (\epsilon_2 - j\frac{\sigma_2}{\omega})} \rightarrow 0$

$$\left\{ \begin{array}{l} \Gamma_{\perp} = \frac{\eta_2 \cos \theta_i - \eta_1 \cos \theta_t}{\eta_2 \cos \theta_i + \eta_1 \cos \theta_t} \\ \tau_{\perp} = \frac{2\eta_2 \cos \theta_i}{\eta_2 \cos \theta_i + \eta_1 \cos \theta_t} \end{array} \right.$$

→

$$\left\{ \begin{array}{l} \Gamma_{\perp} = -1 \\ \tau_{\perp} = 0 \end{array} \right.$$



## 媒质1中的合成波

$$\begin{aligned}\vec{E}_1(\vec{r}) &= \vec{e}_y [E_{\text{im}} e^{-jk_1(x \sin \theta_i + z \cos \theta_i)} - E_{\text{im}} e^{-jk_1(x \sin \theta_r - z \cos \theta_r)}] \\ &= -\vec{e}_y j 2 E_{\text{im}} \sin(k_1 z \cos \theta_i) e^{-jk_1 x \sin \theta_i} \\ \vec{H}_1(\vec{r}) &= -\vec{e}_z \frac{j 2 E_{\text{im}} \sin \theta_i}{\eta_1} \sin(k_1 z \cos \theta_i) e^{-jk_1 x \sin \theta_i} - \\ &\quad \vec{e}_x \frac{2 E_{\text{im}} \sin \theta_i}{\eta_1} \cos(k_1 z \cos \theta_i) e^{-jk_1 x \sin \theta_i}\end{aligned}$$

- 合成波的特点：
  - 合成波是沿  $x$  方向的行波，其振幅沿  $z$  方向成驻波分布，是非均匀平面波；
  - 合成波电场垂直于传播方向，而磁场则存在  $x$  分量，这种波称为横电波，即TE 波；
  - 在  $z = -n\lambda_1/(2 \cos \theta_i)$  处，合成波电场  $E_1 = 0$ 。

## ■ 合成波的平均能流密度矢量

$$\begin{aligned}\vec{S}_{\text{av}} &= \frac{1}{2} \operatorname{Re}[\vec{E}_i(\vec{r}) \times \vec{H}_i^*(\vec{r})] = \frac{1}{2} \operatorname{Re}[(E_i + E_r) \times (H_i + H_r)^*] \\ &= \vec{e}_x \frac{2E_{\text{im}}^2}{\eta_i} \sin \theta_i \sin^2(k_i z \cos \theta_i)\end{aligned}$$

**例6.4.1** 当垂直极化的平面波以角度 $\theta_i$ 由空气向无限大的理想导电平面投射时，若入射波电场振幅为 $E_{im}$ ，试求理想导电平面上的表面电流密度及空气中的能流密度的平均值。

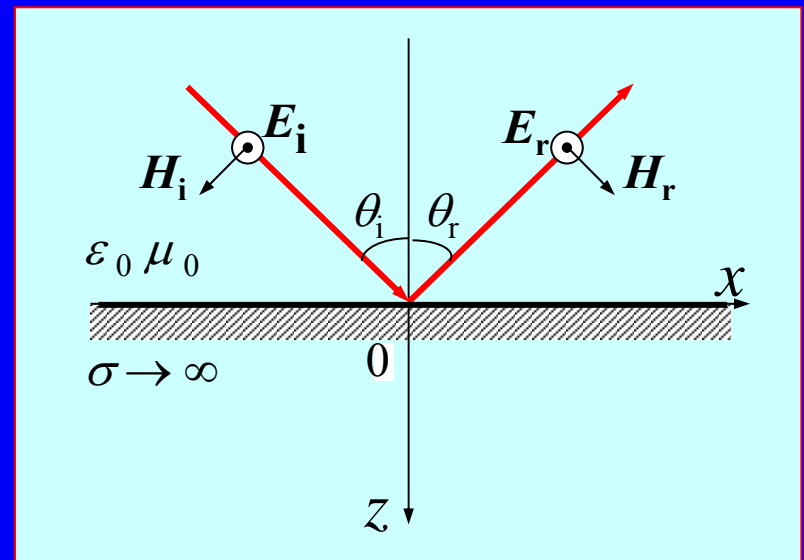
解 令理想导电平面为 $z=0$ 平面，如图所示。那么，表面电流 $J_S$ 为

$$\vec{J}_S = \vec{e}_n \times \vec{H} = -\vec{e}_z \times \vec{H} \Big|_{z=0}$$

已知磁场的 $x$ 分量为

$$\vec{H}_x = -\vec{e}_x 2 \frac{E_{im}}{\eta_1} \cos \theta_i \cos(k_1 z \cos \theta_i) e^{-jk_1 x \sin \theta_i}$$

求得  $\vec{J}_S = \vec{e}_y \frac{2E_{im}}{\eta_0} \cos \theta_i e^{-jk_1 x \sin \theta_i}$



能流密度的平均值

$$\vec{S}_{av} = \frac{1}{2} \operatorname{Re}(\vec{E} \times \vec{H}^*) = \frac{1}{2} \operatorname{Re}[\vec{E}_y \times (\vec{H}_x^* + \vec{H}_z^*)]$$

已知垂直极化平面波的各分量分别为

$$\vec{E}_y = -\vec{e}_y j 2 E_{im} \sin(k_1 z \cos \theta_i) e^{-jk_1 x \sin \theta_i}$$

$$\vec{H}_x = -\vec{e}_x 2 \frac{E_{im}}{\eta_0} \cos \theta_i \cos(k_1 z \cos \theta_i) e^{-jk_1 x \sin \theta_i}$$

$$\vec{H}_z = -\vec{e}_z j 2 \frac{E_{im}}{\eta_0} \sin \theta_i \sin(k_1 z \cos \theta_i) e^{-jk_1 x \sin \theta_i}$$

求得

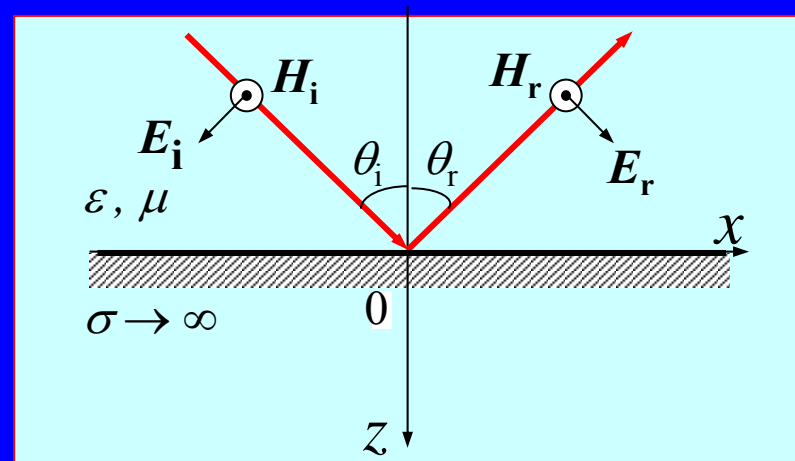
$$\vec{S}_{av} = \vec{e}_x 4 \frac{E_{im}^2}{\eta_0} \sin \theta_i \sin^2(k_1 z \cos \theta_i)$$

## 6.4.2 平行极化波对理想导体表面的斜入射

由于  $\eta_{2c} = \sqrt{\frac{\mu_2}{\epsilon_{2c}}} \rightarrow 0$

则 
$$\begin{cases} \Gamma_{//} = \frac{\eta_1 \cos \theta_i - \eta_2 \cos \theta_t}{\eta_1 \cos \theta_i + \eta_2 \cos \theta_t} \\ \tau_{//} = \frac{2\eta_2 \cos \theta_i}{\eta_1 \cos \theta_i + \eta_2 \cos \theta_t} \end{cases}$$

$\rightarrow \begin{cases} \Gamma_{//} = 1 \\ \tau_{//} = 0 \end{cases}$



## 媒质1中的合成波

$$\vec{H}_1(\vec{r}) = \vec{e}_y \frac{2E_{\text{im}}}{\eta_1} \cos(k_1 z \cos \theta_i) e^{-jk_1 x \sin \theta_i}$$

$$\vec{E}_1(\vec{r}) = -\vec{e}_x j 2E_{\text{im}} \cos \theta_i \sin(k_1 z \cos \theta_i) e^{-jk_1 x \sin \theta_i}$$

- 合成波的特点       $-\vec{e}_z 2E_{\text{im}} \sin \theta_i \cos(k_1 z \cos \theta_i) e^{-jk_1 x \sin \theta_i}$
- 合成波是沿  $x$  方向的行波，其振幅沿  $z$  方向成驻波分布，是非均匀平面波；
- 合成波磁场垂直于传播方向，而电场则存在  $x$  分量，这种波称为横磁波，即 TM 波；
- 在  $z = -n\lambda_1 / (2 \cos \theta_i)$  处，合成波电场的  $E_{1x} = 0$ 。

**例6.4.2** 已知空气中磁场强度为  $\vec{H}_i = -\vec{e}_y e^{-j\sqrt{2}\pi(x+z)} \text{ A/m}$  的均匀平面波，向位于  $z=0$  处的理想导体斜入射。求：（1）入射角；（2）入射波电场；（3）反射波电场和磁场；（4）合成波的电场和磁场；（5）导体表面上的感应电流密度和电荷密度。

解：（1）由题意可知， $k_{ix} = k_{iz} = \sqrt{2}\pi$ ，所以

$$\vec{k}_i = \vec{e}_x k_{ix} + \vec{e}_z k_{iz} = (\vec{e}_x + \vec{e}_z) \sqrt{2}\pi, \quad k = |\vec{k}_i| = 2\pi$$

故入射角为  $\theta_i = \arctan \frac{k_{ix}}{k_{iz}} = \frac{\pi}{4}$

（2）入射波电场为

$$\vec{E}_i = \eta_0 \vec{H}_i \times \vec{e}_i = \frac{\eta_0}{k} \vec{H}_i \times \vec{k}_i = (-\vec{e}_x + \vec{e}_z) \frac{120\pi}{\sqrt{2}} e^{-j\sqrt{2}\pi(x+z)}$$

(3) 反射波矢量为  $\vec{k}_r = \vec{e}_x k_{ix} - \vec{e}_z k_{iz} = (\vec{e}_x - \vec{e}_z) \sqrt{2\pi}$

故反射波磁场和电场分别为

$$\vec{H}_r = -\vec{e}_y e^{-j\sqrt{2\pi}(x-z)}$$

$$\vec{E}_r = \eta_0 \vec{H}_r \times \vec{e}_r = \frac{\eta_0}{k} \vec{H}_r \times \vec{k}_r = (\vec{e}_x + \vec{e}_z) \frac{120\pi}{\sqrt{2}} e^{-j\sqrt{2\pi}(x-z)}$$

(4) 合成波的电场为

$$\vec{E}_t = \vec{E}_i + \vec{E}_r$$

$$= [\vec{e}_x (e^{j\sqrt{2\pi}z} - e^{-j\sqrt{2\pi}z}) + \vec{e}_z (e^{j\sqrt{2\pi}z} + e^{-j\sqrt{2\pi}z})] \frac{120\pi}{\sqrt{2}} e^{-j\sqrt{2\pi}x}$$

$$= [\vec{e}_x j \sin(\sqrt{2\pi}z) + \vec{e}_z \cos(\sqrt{2\pi}z)] 120\sqrt{2}\pi e^{-j\sqrt{2\pi}x}$$

合成波的磁场为

$$\begin{aligned}\vec{H}_1 &= \vec{H}_i + \vec{H}_r = -\vec{e}_y [e^{j\sqrt{2}\pi z} + e^{-j\sqrt{2}\pi z}] e^{-j\sqrt{2}\pi x} \\ &= -\vec{e}_y 2 \cos(\sqrt{2}\pi z) e^{-j\sqrt{2}\pi x}\end{aligned}$$

(5) 导体表面上的感应电流密度和电荷密度分别为

$$\vec{J}_s = \vec{e}_n \times \vec{H}_1 \Big|_{z=0} = (-\vec{e}_z) \times (-\vec{e}_y) 2 e^{-j\sqrt{2}\pi x} = -\vec{e}_x 2 e^{-j\sqrt{2}\pi x}$$

$$\begin{aligned}\rho_s &= \epsilon_0 \vec{e}_n \cdot \vec{E}_1 \Big|_{z=0} = -\epsilon_0 \vec{e}_z \cdot \vec{E}_1 \Big|_{z=0} \\ &= -120\sqrt{2}\pi \epsilon_0 e^{-j\sqrt{2}\pi x}\end{aligned}$$

# 习题

1, 4